

# 第6章 连续时间系统的复频域分析

6.1 拉普拉斯变换

6.2 拉普拉斯变换的基本性质

6.3 拉普拉斯逆变换

6.4 系统响应的拉氏变换求解

6.5 系统函数与冲激响应

6.6 零、极点分布与时域响应特性

6.7 系统函数零、极点分布确定频率响应

6.8 全通系统和最小相位系统

6.9 系统模拟及信号流图

6.10 系统的稳定性

6.11 MATLAB在连续系统变换域分析中的应用

## 6.1 拉普拉斯变换

拉氏变换的优点：

- 1) 求解简化；
- 2) 把微分、积分方程转化为代数方程；
- 3) 将复杂函数转化为简单的初等函数；
- 4) 将卷积转化为乘法运算。

## 6.1.1 从傅里叶变换到拉普拉斯变换

$$F(j\Omega) = \int_{-\infty}^{\infty} f(t)e^{-j\Omega t} dt$$

$$f(t) = \frac{1}{2\pi} \int_{-\infty}^{\infty} F(j\Omega)e^{j\Omega t} d\Omega$$

引入衰减因子  $e^{-\sigma t}$ ，则  $e^{-\sigma t} f(t)$  的傅氏变换为

$$\mathcal{F}[e^{-\sigma t} f(t)] = \int_{-\infty}^{\infty} [f(t)e^{-\sigma t}]e^{-j\Omega t} dt = \int_{-\infty}^{\infty} f(t)e^{-(\sigma+j\Omega)t} dt$$

令  $s = \sigma + j\Omega$ ，则

$$F_B(s) = \mathcal{L}_B[f(t)] = \int_{-\infty}^{\infty} f(t)e^{-st} dt \quad \text{----- } f(t) \text{ 的双边拉氏变换}$$

$$f(t) = \mathcal{L}_B^{-1}[F(j\Omega)] = \frac{1}{2\pi j} \int_{\sigma-j\infty}^{\sigma+j\infty} F_B(s)e^{st} ds \quad \text{----- 双边拉氏逆变换}$$

## 6.1.1 从傅里叶变换到拉普拉斯变换

在信号与系统分析中，一般所遇到的总是因果信号，则

$$F(s) = \mathcal{L}[f(t)] = \int_{0^-}^{\infty} f(t)e^{-st} dt \quad (6.1-5)$$

-----  $f(t)$  的单边拉氏变换

$$f(t) = \mathcal{L}_B^{-1}[F(j\Omega)] = \frac{1}{2\pi j} \int_{\sigma-j\infty}^{\sigma+j\infty} F_B(s)e^{st} ds \quad t \geq 0$$

简记为

----- 单边拉氏逆变换

$$f(t) \xleftrightarrow{\text{L.T.}} F(s)$$

## 6.1.1 从傅里叶变换到拉普拉斯变换

拉普拉斯变换与傅里叶变换的区别：

**FT:** 时域函数  $f(t)$   $\longrightarrow$  频域函数  $F(j\Omega)$

变量  $t$   $\longrightarrow$  变量  $\Omega$

(变量  $t$ 、 $\Omega$  都是实数)

**LT:** 时域函数  $f(t)$   $\longrightarrow$  复频域函数  $F(s)$

变量  $t$   $\longrightarrow$  变量  $s$  (复频率)

$t$  (实数)  $s = \sigma + j\Omega$  (复数)

即： 傅里叶变换建立了时域与频域之间的联系；  
拉普拉斯变换建立了时域与复频域之间的联系。

## 6.1.2 拉普拉斯变换的收敛域

$$F_B(s) = \mathcal{L}_B[f(t)] = \int_{-\infty}^{\infty} f(t)e^{-st} dt \quad (1)$$

$$F(s) = \mathcal{L}[f(t)] = \int_{0^-}^{\infty} f(t)e^{-st} dt \quad (2)$$

在以  $\sigma$  为实轴,  $j\Omega$  为虚轴的复平面中, 凡能使式(1)或式(2)积分收敛, 即满足下列绝对可积条件

$$\int_{-\infty}^{\infty} |f(t)| e^{-\sigma t} dt < \infty$$

的  $\sigma$  的取值范围称为拉氏变换的收敛域, 以ROC表示。

## 6.1.2 拉普拉斯变换的收敛域

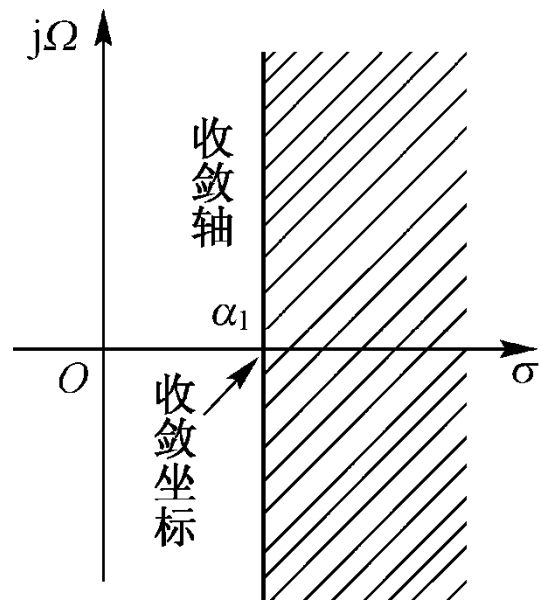
**例6.1-1** 求因果信号 $f_1(t) = e^{\alpha_1 t} u(t)$  ( $\alpha_1$ 为实数) 的双边拉氏变换及收敛域。

**解:** 
$$F_{B1}(s) = \int_{-\infty}^{\infty} f_1(t) e^{-st} dt = \int_0^{\infty} e^{-(s-\alpha_1)t} dt$$

当 $\sigma = \text{Re}[s] > \alpha_1$ 时, 有

$$F_{B1}(s) = -\frac{1}{s - \alpha_1} e^{-(s-\alpha_1)t} \bigg|_0^{\infty} = \frac{1}{s - \alpha_1}$$

若 $\alpha_1 < 0$ , 收敛轴将移到 $j\Omega$  轴的左侧。



## 6.1.2 拉普拉斯变换的收敛域

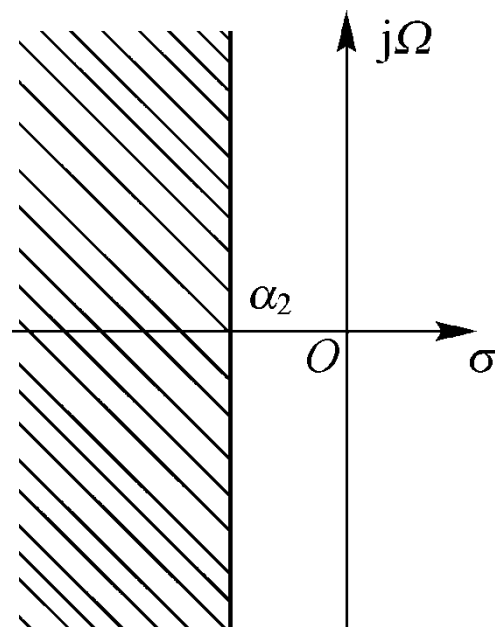
**例6.1-2** 求左边信号 $f_2(t) = -e^{\alpha_2 t} u(-t)$  ( $\alpha_2$ 为实数) 的双边拉氏变换及收敛域。

**解:** 
$$F_{B2}(s) = \int_{-\infty}^{\infty} f_2(t) e^{-st} dt = -\int_{-\infty}^0 e^{-(s-\alpha_2)t} dt$$

当 $\sigma = \text{Re}[s] < \alpha_2$ 时, 有

$$\begin{aligned} F_{B2}(s) &= -\int_{-\infty}^0 e^{-(s-\alpha_2)t} dt \\ &= \frac{1}{s - \alpha_2} e^{-(s-\alpha_2)t} \bigg|_{-\infty}^0 = \frac{1}{s - \alpha_2} \end{aligned}$$

若 $\alpha_2 > 0$ , 收敛轴将移到 $j\Omega$  轴的右侧。





## 6.1.2 拉普拉斯变换的收敛域

**例6.1-3** 求双边信号  $f(t) = \begin{cases} e^{\alpha_2 t} & t < 0 \\ e^{\alpha_1 t} & t > 0 \end{cases}$  的双边拉氏变换及收敛域。

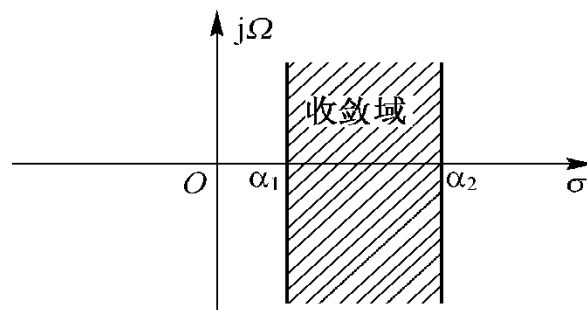
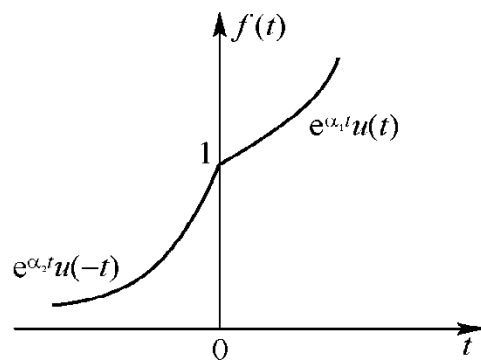
**解:** 
$$F_B(s) = \int_{-\infty}^{\infty} f(t)e^{-st} dt = \int_{-\infty}^0 e^{\alpha_2 t} e^{-st} dt + \int_0^{\infty} e^{\alpha_1 t} e^{-st} dt$$
$$= \frac{e^{-(s-\alpha_2)t}}{-(s-\alpha_2)} \Big|_{-\infty}^0 + \frac{e^{-(s-\alpha_1)t}}{-(s-\alpha_1)} \Big|_0^{\infty}$$

当  $\sigma = \text{Re}[s] < \alpha_2$ ，上式第一项存在；当  $\sigma = \text{Re}[s] > \alpha_1$ ，上式第二项存在，这时

$$F_B(s) = \frac{1}{-(s-\alpha_2)} + \frac{1}{s-\alpha_1} = \frac{\alpha_1 - \alpha_2}{(s-\alpha_1)(s-\alpha_2)} \quad \alpha_1 < \sigma < \alpha_2$$

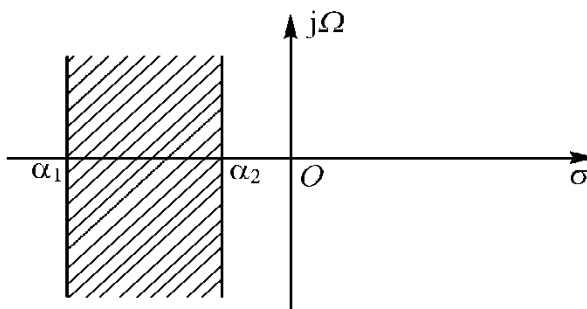
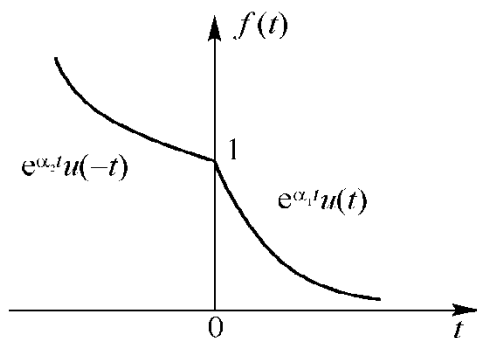
## 6.1.2 拉普拉斯变换的收敛域

$$\alpha_2 > \alpha_1 > 0$$



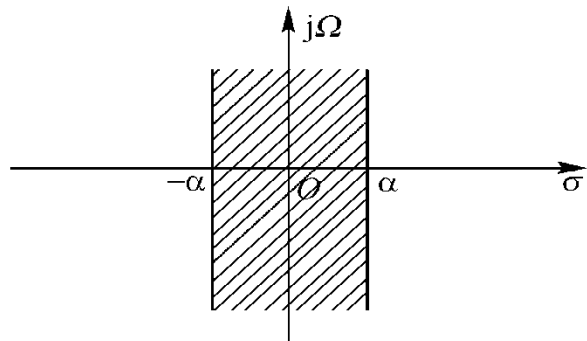
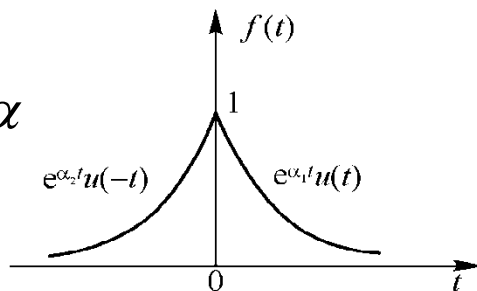
(a)

$$\alpha_1 < \alpha_2 < 0$$



(b)

$$\alpha_1 = -\alpha, \quad \alpha_2 = \alpha$$



(c)

## 6.1.2 拉普拉斯变换的收敛域

单边拉氏变换的ROC为平行于  $j\Omega$  轴的一条收敛轴的右边区域，可表示为

$$\sigma = \operatorname{Re}[s] > \sigma_0$$

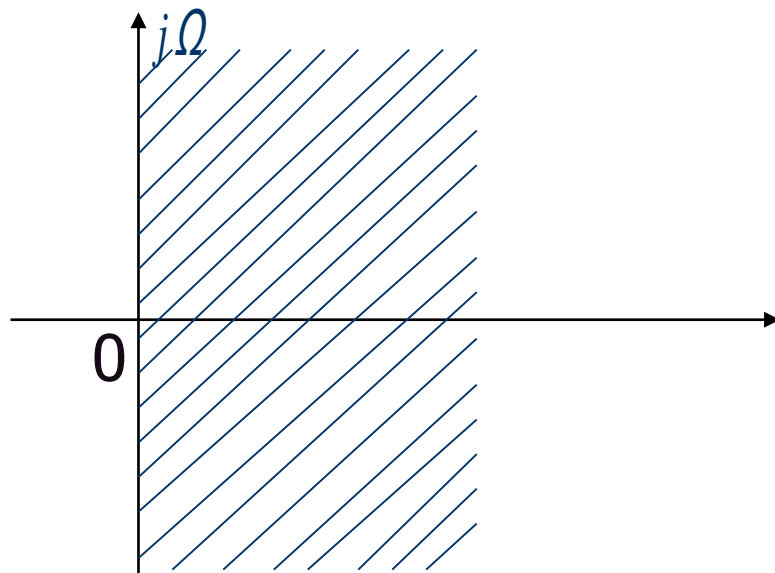
若  $\lim_{t \rightarrow \infty} f(t)e^{-\sigma t} = 0, (\sigma > \sigma_0)$ ，则  $f(t)$  存在拉氏变换，收敛域为： $\sigma > \sigma_0$

**例1**  $f_1(t) = t$

$$\lim_{t \rightarrow \infty} te^{-\sigma t} = 0, (\sigma > 0)$$

**例2**  $f_2(t) = t^n$

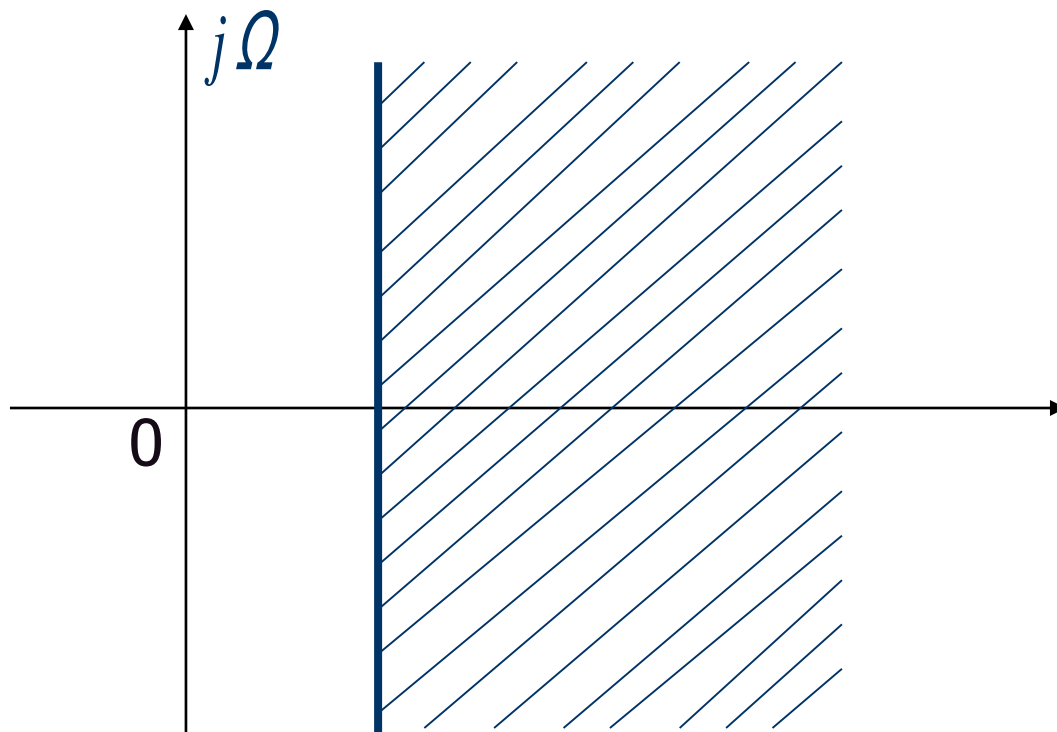
$$\lim_{t \rightarrow \infty} t^n e^{-\sigma t} = 0, (\sigma > 0)$$



## 6.1.2 拉普拉斯变换的收敛域

**例3**  $f_3(t) = e^{\alpha t} \quad (\alpha > 0)$

$$\lim_{t \rightarrow \infty} e^{\alpha t} e^{-\sigma t} = 0, \quad (\sigma > \alpha)$$



## 6.1.3 典型信号的拉普拉斯变换

### 1. 指数信号 $e^{-\alpha t}u(t)$

$$\mathcal{L}[e^{-\alpha t}u(t)] = \int_0^{\infty} e^{-\alpha t} e^{-st} dt = -\frac{e^{-(\alpha+s)t}}{\alpha+s} \Big|_0^{\infty} = \frac{1}{s+\alpha} \quad (\sigma > -\alpha)$$

### 2. 单位阶跃信号 $u(t)$

$$\mathcal{L}[u(t)] = \int_0^{\infty} e^{-st} dt = -\frac{e^{-st}}{s} \Big|_0^{\infty} = \frac{1}{s} \quad (\sigma > 0)$$

### 3. 单位冲激信号 $\delta(t)$

$$\mathcal{L}[\delta(t)] = \int_{0^-}^{\infty} \delta(t) e^{-st} dt = e^{-st} \Big|_{t=0} = 1 \quad (\sigma > -\infty)$$

同理  $\mathcal{L}[\delta(t-t_0)] = \int_{0^-}^{\infty} \delta(t-t_0) e^{-st} dt = e^{-st_0} \quad (\sigma > -\infty)$

## 6.1.3 典型信号的拉普拉斯变换

### 4. $t$ 的正幂信号 $t^n u(t)$ ( $n$ 是正整数)

$$\begin{aligned}\mathcal{L}[t^n u(t)] &= \int_0^{\infty} t^n e^{-st} dt = -\frac{t^n}{s} e^{-st} \Big|_0^{\infty} + \frac{n}{s} \int_0^{\infty} t^{n-1} e^{-st} dt \\ &= \frac{n}{s} \int_0^{\infty} t^{n-1} e^{-st} dt\end{aligned}$$

所以  $\mathcal{L}[t^n u(t)] = \frac{n}{s} \mathcal{L}[t^{n-1} u(t)]$

当  $n=1$  时  $\mathcal{L}[t u(t)] = \frac{1}{s^2} \quad (\sigma > 0)$

当  $n=2$  时  $\mathcal{L}[t^2 u(t)] = \frac{2}{s^3} \quad (\sigma > 0)$

以此类推, 得  $\mathcal{L}[t^n u(t)] = \frac{n!}{s^{n+1}} \quad (\sigma > 0)$

## 6.2 拉普拉斯变换的基本性质

### 1. 线性特性

若  $\mathcal{L}[f_1(t)] = F_1(s)$ ,  $\mathcal{L}[f_2(t)] = F_2(s)$ , 则

$$\mathcal{L}[K_1 f_1(t) + K_2 f_2(t)] = K_1 F_1(s) + K_2 F_2(s)$$

**例6.2-1** 求  $f(t) = \sin \Omega_0 t \cdot u(t)$  的拉氏变换。

**解:** 由于  $\sin \Omega_0 t = \frac{1}{2j}(e^{j\Omega_0 t} - e^{-j\Omega_0 t})$ , 所以

$$\begin{aligned}\mathcal{L}[\sin \Omega_0 t \cdot u(t)] &= \mathcal{L}\left[\frac{1}{2j}(e^{j\Omega_0 t} - e^{-j\Omega_0 t})u(t)\right] \\ &= \frac{1}{2j} \frac{1}{s - j\Omega_0} - \frac{1}{2j} \frac{1}{s + j\Omega_0} = \frac{\Omega_0}{s^2 + \Omega_0^2} \quad (\sigma > 0)\end{aligned}$$

$$\text{同理} \quad \mathcal{L}[\cos \Omega_0 t \cdot u(t)] = \frac{s}{s^2 + \Omega_0^2} \quad (\sigma > 0)$$

## 2. 时域微分和积分

### (1) 时域微分

若  $\mathcal{L}[f(t)] = F(s)$ , 则  $\mathcal{L}\left[\frac{df(t)}{dt}\right] = sF(s) - f(0^-)$  (6.2-5)

$$\mathcal{L}\left[\frac{d^2 f(t)}{dt^2}\right] = s^2 F(s) - sf(0^-) - f'(0^-)$$

$$\begin{aligned}\mathcal{L}\left[\frac{d^n f(t)}{dt^n}\right] &= s^n F(s) - s^{n-1} f(0^-) - s^{n-2} f'(0^-) - \cdots - f^{(n-1)}(0^-) \\ &= s^n F(s) - \sum_{r=0}^{n-1} s^{n-r-1} f^{(r)}(0^-)\end{aligned}$$



## 2. 时域微分和积分

**例6.2-2** 已知  $f(t) = e^{-\alpha t}u(t)$ ，求  $f'(t)$  的像函数。

**解：** 已知  $F(s) = \mathcal{L}[f(t)] = \frac{1}{s + \alpha}$

所以  $\mathcal{L}[f'(t)] = sF(s) - f(0^-) = \frac{s}{s + \alpha} - 0 = \frac{s}{s + \alpha}$

### (2) 时域积分

若  $\mathcal{L}[f(t)] = F(s)$ ，则

$$\mathcal{L}\left[\int_{-\infty}^t f(\tau) d\tau\right] = \frac{F(s)}{s} + \frac{f^{(-1)}(0^-)}{s} \quad (6.2-7)$$

$$\text{式中： } f^{(-1)}(0^-) = \int_{-\infty}^{0^-} f(\tau) d\tau$$

## 2. 时域微分和积分

**例6.2-3** 试通过阶跃信号 $u(t)$ 的积分求 $tu(t)$ 和 $t^n u(t)$ 的拉氏变换。

**解：**因为  $F(s)=\mathcal{L}[u(t)]=\frac{1}{s}$

而  $tu(t)=\int_{0^-}^t u(\tau)d\tau$

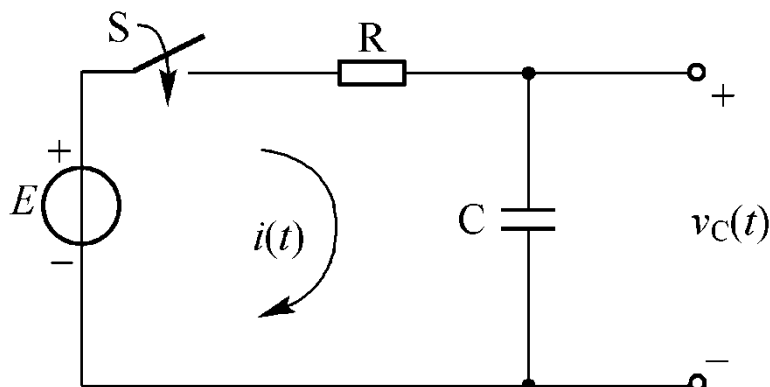
所以  $\mathcal{L}[tu(t)]=\frac{1}{s^2}$

重复应用这个性质，可得

$$\mathcal{L}[t^n u(t)]=\frac{n!}{s^{n+1}}$$

## 2. 时域微分和积分

**例6.2-4** 图示电路，在  $t = 0$  时开关  $S$  闭合，求输出信号  $v_C(t)$ 。



**解：** 1) 列写微分方程

$$RC \frac{dv_C(t)}{dt} + v_C(t) = Eu(t)$$

$$v_C(0^-) = 0$$

2) 将微分方程两边取拉氏变换，得

$$RC \left[ sV_C(s) - v_C(0^-) \right] + V_C(s) = E/s$$

解此代数方程，求得 
$$V_C(s) = \frac{E}{s(1 + RCs)} = \frac{E}{RCs \left( s + \frac{1}{RC} \right)}$$

## 2. 时域微分和积分

3) 求  $V_C(s)$  的拉氏逆变换

$$V_C(s) = \frac{E}{RCs \left( s + \frac{1}{RC} \right)} = E \left( \frac{1}{s} - \frac{1}{s + \frac{1}{RC}} \right)$$

$$\therefore v_C(t) = \mathcal{L}^{-1}[V_C(s)] = E(1 - e^{-\frac{t}{RC}}) \quad t \geq 0$$

### 3. 位移性

#### (1) 时域位移（延时）

若  $\mathcal{L}[f(t)] = F(s)$ ，则

$$\mathcal{L}[f(t-t_0)u(t-t_0)] = e^{-st_0} F(s) \quad (6.2-8) \quad \text{式中, } t_0 > 0。$$

在应用延时特性时，特别要注意它只适用于  $t_0 > 0$  的情况。因为当  $t_0 < 0$  时，信号左移至原点以左部分，不能包含在从  $0^-$  到  $\infty$  的积分中去。

**例6.2-5** 已知  $f(t) = \sin \Omega_0 t$  的拉氏变换为  $F(s) = \frac{\Omega_0}{s^2 + \Omega_0^2}$ ，求

下列信号的拉氏变换（式中  $t_0 > 0$ ）。

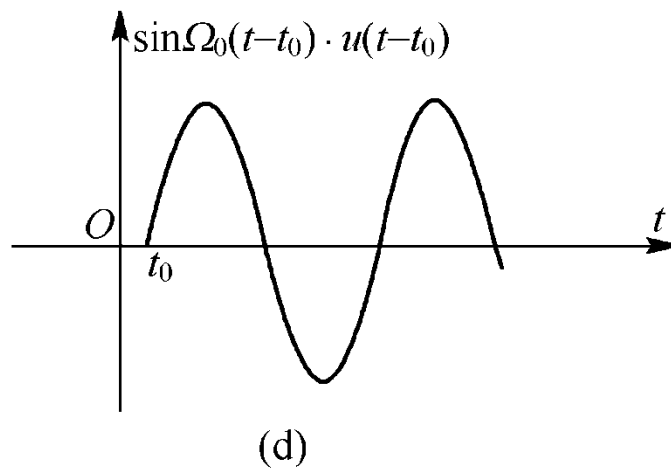
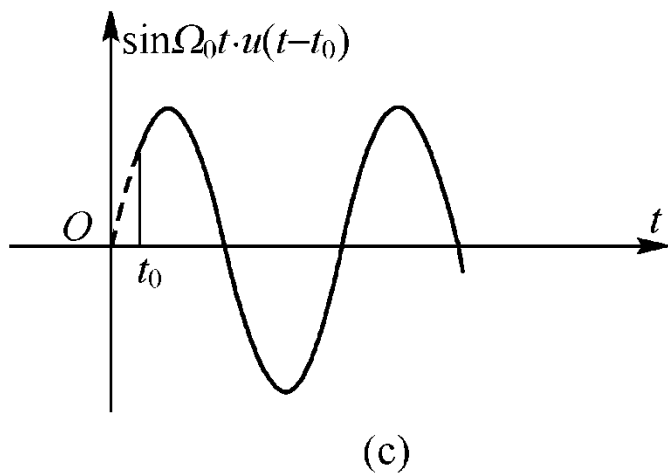
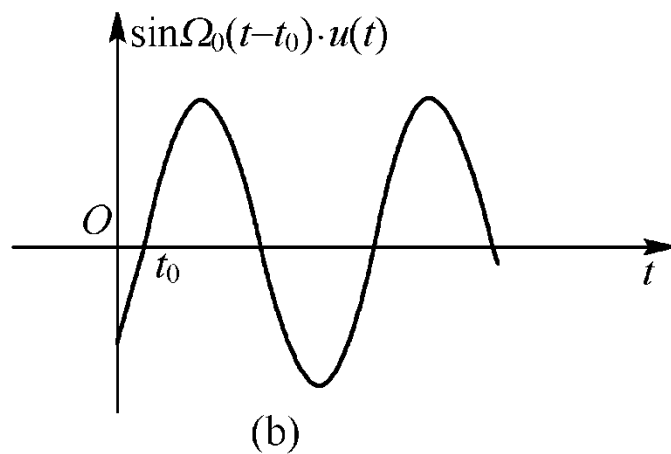
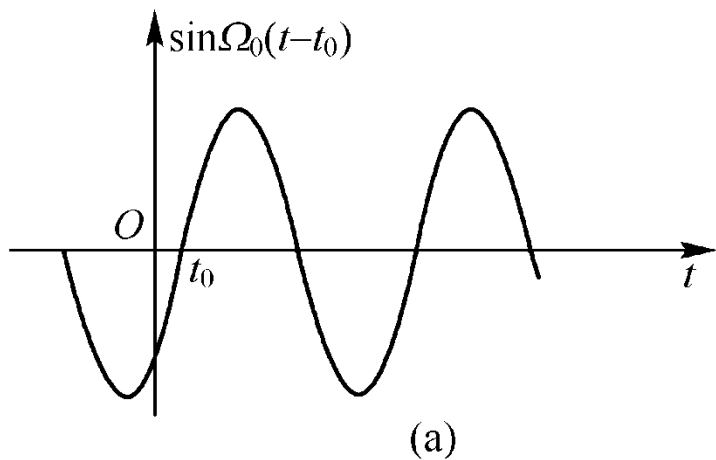
$$(1) f(t-t_0) = \sin \Omega_0(t-t_0); \quad (2) f(t-t_0)u(t) = \sin \Omega_0(t-t_0) \cdot u(t);$$

$$(3) f(t)u(t-t_0) = \sin \Omega_0 t \cdot u(t-t_0);$$

$$(4) f(t-t_0)u(t-t_0) = \sin \Omega_0(t-t_0) \cdot u(t-t_0)。$$

### 3. 位移性

四种信号如下图所示。



### 3. 位移性

对于（1）和（2）两种信号在  $t \geq 0$  时的波形相同，所以

$$\begin{aligned}\mathcal{L}[f(t-t_0)] &= \mathcal{L}[f(t-t_0)u(t)] = \mathcal{L}[\sin \Omega_0(t-t_0)] \\ &= \mathcal{L}[\sin \Omega_0 t \cos \Omega_0 t_0 - \cos \Omega_0 t \sin \Omega_0 t_0] = \frac{\Omega_0 \cos \Omega_0 t_0 - s \sin \Omega_0 t_0}{s^2 + \Omega_0^2}\end{aligned}$$

对于信号（3）：

$$\begin{aligned}\mathcal{L}[\sin \Omega_0 t \cdot u(t-t_0)] &= \int_{t_0}^{\infty} \sin \Omega_0 t e^{-st} dt = \frac{1}{2j} \int_{t_0}^{\infty} [e^{-(s-j\Omega_0)t} - e^{-(s+j\Omega_0)t}] dt \\ &= e^{-st_0} \left[ \frac{\Omega_0 \cos \Omega_0 t_0 + s \sin \Omega_0 t_0}{s^2 + \Omega_0^2} \right]\end{aligned}$$

### 3. 位移性

对于信号（4）：

$$\begin{aligned}\mathcal{L}[\sin \Omega_0(t-t_0) \cdot u(t-t_0)] &= \frac{1}{2j} \int_{t_0}^{\infty} [e^{j\Omega_0(t-t_0)} - e^{-j\Omega_0(t-t_0)}] e^{-st} dt \\ &= \frac{1}{2j} \left[ \frac{e^{-j\Omega_0 t_0} e^{-(s-j\Omega_0)t_0}}{s-j\Omega_0} - \frac{e^{j\Omega_0 t_0} e^{-(s+j\Omega_0)t_0}}{s+j\Omega_0} \right] = e^{-st_0} \left[ \frac{\Omega_0}{s^2 + \Omega_0^2} \right]\end{aligned}$$

可见，在以上四种信号中，只有信号（4），即

$f(t-t_0)u(t-t_0) = \sin \Omega_0(t-t_0) \cdot u(t-t_0)$  是信号

$f(t)u(t) = \sin \Omega_0 t \cdot u(t)$  右移了  $t_0$  的结果，才能应用

时移性，即  $\mathcal{L}[\sin \Omega_0(t-t_0) \cdot u(t-t_0)] = e^{-st_0} \mathcal{L}[\sin \Omega_0 t] = e^{-st_0} \frac{\Omega_0}{s^2 + \Omega_0^2}$



### 3. 位移性

**例6.2-6** 求图示矩形脉冲信号的拉氏变换。

**解：** 因为  $f(t) = Eu(t) - Eu(t - t_0)$

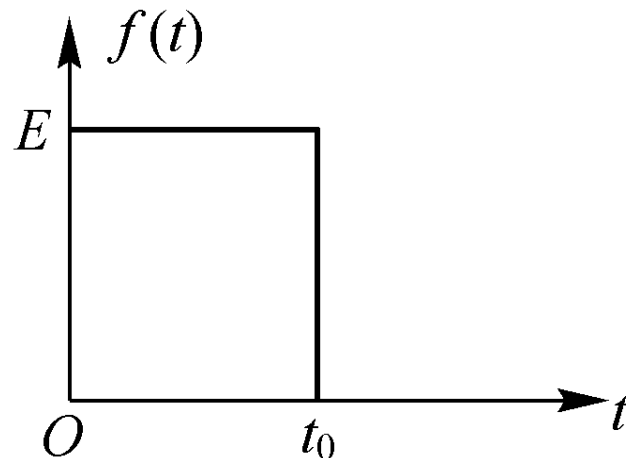
$$\mathcal{L}[Eu(t)] = \frac{E}{s}$$

由延时特性 可求得

$$\mathcal{L}[Eu(t - t_0)] = e^{-st_0} \frac{E}{s}$$

所以

$$\mathcal{L}[f(t)] = \mathcal{L}[Eu(t) - Eu(t - t_0)] = \frac{E}{s}(1 - e^{-st_0})$$



### 3. 位移性

#### (2) $s$ 域位移

若  $\mathcal{L}[f(t)] = F(s)$ ，则  $\mathcal{L}[f(t)e^{-\alpha t}] = F(s + \alpha)$  (6.2-9)

**例6.2-7** 求  $e^{-\alpha t} \sin \Omega t$  和  $e^{-\alpha t} \cos \Omega t$  的拉氏变换。

**解：**已知  $\mathcal{L}[\sin \Omega t] = \frac{\Omega}{s^2 + \Omega^2}$

由 $s$ 域位移定理，得

$$\mathcal{L}[e^{-\alpha t} \sin \Omega t] = \frac{\Omega}{(s + \alpha)^2 + \Omega^2}$$

同理，因为  $\mathcal{L}[\cos \Omega t] = \frac{s}{s^2 + \Omega^2}$

故有  $\mathcal{L}[e^{-\alpha t} \cos \Omega t] = \frac{s + \alpha}{(s + \alpha)^2 + \Omega^2}$

## 4. 尺度变换

若  $\mathcal{L}[f(t)] = F(s)$ ，则  $\mathcal{L}[f(at)] = \frac{1}{a} F\left(\frac{s}{a}\right) \quad (a > 0) \quad (6.2-10)$

**例6.2-8** 已知  $\mathcal{L}[f(t)] = F(s)$ ，求  $\mathcal{L}[f(2t-3)u(2t-3)]$

**解法一：**先延时： $\mathcal{L}[f(t-3)u(t-3)] = F(s)e^{-3s}$

再尺度： $\mathcal{L}[f(2t-3)u(2t-3)] = \frac{1}{2} F\left(\frac{s}{2}\right)e^{-\frac{3}{2}s}$

**解法二：**先尺度： $\mathcal{L}[f(2t)u(2t)] = \frac{1}{2} F\left(\frac{s}{2}\right)$

再延时：

$$\mathcal{L}[f(2t-3)u(2t-3)] = \mathcal{L}\left\{f\left[2\left(t-\frac{3}{2}\right)\right]u\left[2\left(t-\frac{3}{2}\right)\right]\right\} = \frac{1}{2} F\left(\frac{s}{2}\right)e^{-\frac{3}{2}s}$$

## 5. $s$ 域微分与积分

### (1) $s$ 域微分

若  $\mathcal{L}[f(t)] = F(s)$  , 则

$$\mathcal{L}[(-t)f(t)] = \frac{dF(s)}{ds} \quad (6.2-11)$$

$$\mathcal{L}[(-t)^n f(t)] = \frac{d^n F(s)}{ds^n}$$

### (2) $s$ 域积分

若  $\mathcal{L}[f(t)] = F(s)$  , 则

$$\mathcal{L}\left[\frac{f(t)}{t}\right] = \int_s^\infty F(\eta) d\eta \quad (6.2-12)$$

## 6. 初值与终值定理

### (1) 初值定理

若  $\mathcal{L}[f(t)] = F(s)$ ，且  $f(t)$  连续可导，则

$$\lim_{t \rightarrow 0^+} f(t) = f(0^+) = \lim_{s \rightarrow \infty} sF(s) \quad (6.2-13)$$

证明：由时域微分特性可知

$$\begin{aligned} sF(s) - f(0^-) &= \mathcal{L}\left[\frac{df(t)}{dt}\right] = \int_{0^-}^{\infty} \frac{df(t)}{dt} e^{-st} dt \\ &= \int_{0^-}^{0^+} \frac{df(t)}{dt} e^{-st} dt + \int_{0^+}^{\infty} \frac{df(t)}{dt} e^{-st} dt \\ &= f(0^+) - f(0^-) + \int_{0^+}^{\infty} \frac{df(t)}{dt} e^{-st} dt \end{aligned}$$

所以 
$$sF(s) = f(0^+) + \int_{0^+}^{\infty} \frac{df(t)}{dt} e^{-st} dt$$

## 6. 初值定理与终值定理

当  $s \rightarrow \infty$  时, 上式右端第二项的极限为

$$\lim_{s \rightarrow \infty} \left\{ \int_{0^+}^{\infty} \frac{df(t)}{dt} e^{-st} dt \right\} = \int_{0^+}^{\infty} \frac{df(t)}{dt} \left[ \lim_{s \rightarrow \infty} e^{-st} \right] dt = 0$$

从而 
$$\lim_{s \rightarrow \infty} sF(s) = f(0^+)$$

### 应用条件

如果  $F(s)$  是有理代数式, 则  $F(s)$  必须是真分式;

如果  $F(s)$  不是有理代数式, 则应利用长除法, 使

$F(s)$  中出现真分式项  $F_0(s)$ , 而初值  $f(0^+)$  等于真分式  $F_0(s)$  之逆变换式  $f_0(t)$  的初值  $f_0(0^+)$ , 即

$$f(0^+) = f_0(0^+) = \lim_{s \rightarrow \infty} sF_0(s)$$

## 6. 初值定理与终值定理

### (2) 终值定理

若  $\mathcal{L}[f(t)] = F(s)$ ，且  $f(t)$  连续可导，则

$$\lim_{t \rightarrow \infty} f(t) = \lim_{s \rightarrow 0} sF(s) \quad (5.8-16)$$

证明: 
$$sF(s) = f(0^+) + \int_{0^+}^{\infty} \frac{df(t)}{dt} e^{-st} dt$$

$$\lim_{s \rightarrow 0} sF(s) = f(0^+) + \lim_{s \rightarrow 0} \int_{0^+}^{\infty} \frac{df(t)}{dt} e^{-st} dt = f(0^+) + \lim_{t \rightarrow \infty} f(t) - f(0^+)$$

所以 
$$\lim_{t \rightarrow \infty} f(t) = \lim_{s \rightarrow 0} sF(s)$$

### 应用条件

仅当  $F(s)$  在右半  $s$  平面及其  $s$  平面的虚轴上为解析时（原点除外），终值定理才可应用。

## 6. 初值定理与终值定理

**例6.2-9** 求下列函数逆变换的初值与终值。

$$(1) \quad F(s) = \frac{s^3 + s^2 + 2s + 1}{s^2 + 2s + 1}$$

$$(2) \quad F(s) = \frac{s^2 + 2s + 3}{(s + 1)(s^2 + 4)}$$

**解：** (1)  $F(s)$  不是真分式，利用长除法求得

$$F(s) = s - 1 + \frac{3s + 2}{s^2 + 2s + 1}$$

于是初值

$$f(0^+) = \lim_{s \rightarrow \infty} s \frac{3s + 2}{s^2 + 2s + 1} = 3$$



## 6. 初值定理与终值定理

如果不用长除法，而直接用  $f(0^+) = \lim_{s \rightarrow \infty} sF(s)$ ，则将得到  $f(0^+) = \infty$  的错误结论。

终值  $\lim_{t \rightarrow \infty} f(t) = \lim_{s \rightarrow 0} sF(s) = 0$

(2) 初值为  $f(0^+) = \lim_{s \rightarrow \infty} s \frac{s^2 + 2s + 3}{(s+1)(s^2 + 4)} = 1$

由于  $F(s)$  在  $j\Omega$  轴上有一对共轭极点  $s = \pm j2$ ，因此  $f(t)$  不存在终值。若不注意终值定理的条件，而直接用

$\lim_{t \rightarrow \infty} f(t) = \lim_{s \rightarrow 0} sF(s)$ ，则将得到  $\lim_{t \rightarrow \infty} f(t) = 0$  的错误结论。

## 7. 卷积定理

### (1) 时域卷积

若  $\mathcal{L}[f_1(t)] = F_1(s)$ ,  $\mathcal{L}[f_2(t)] = F_2(s)$  , 则

$$\mathcal{L}[f_1(t) * f_2(t)] = F_1(s)F_2(s) \quad (6.2-18)$$

### (2) s域卷积

若  $\mathcal{L}[f_1(t)] = F_1(s)$ ,  $\mathcal{L}[f_2(t)] = F_2(s)$  , 则

$$\mathcal{L}[f_1(t)f_2(t)] = \frac{1}{2\pi j} \int_{\sigma-j\infty}^{\sigma+j\infty} F_1(z)F_2(s-z)dz \quad (6.2-19)$$

## 7. 卷积定理

**例6.2-10** 已知  $f_1(t) = e^{-\alpha t}u(t)$ ,  $f_2(t) = u(t)$  , 求  $f_1(t) * f_2(t)$

**解：**利用时域卷积定理可以间接地求出两函数的卷积

因为 
$$F_1(s) = \mathcal{L}[f_1(t)] = \frac{1}{s + \alpha}$$

$$F_2(s) = \mathcal{L}[f_2(t)] = \frac{1}{s}$$

而 
$$F_1(s)F_2(s) = \frac{1}{s + \alpha} \cdot \frac{1}{s} = \frac{1}{\alpha} \left[ \frac{1}{s} - \frac{1}{s + \alpha} \right]$$

则 
$$f_1(t) * f_2(t) = \mathcal{L}^{-1}[F_1(s)F_2(s)] = \frac{1}{\alpha} (1 - e^{-\alpha t})u(t)$$

在课本225页的表6.2中给出了拉氏变换的主要性质。

## 6.3 拉普拉斯逆变换

用拉普拉斯变换方法分析电路问题，一般来讲，包括三个步骤：

- (1) 对微分方程进行拉氏变换成为代数方程，
- (2) 解此代数方程得到所求未知函数的变换式 $F(s)$ ，
- (3) 求 $F(s)$ 的逆变换。

如果 $F(s)$ 是一个比较简单的函数，就可利用常用函数的拉氏变换表（见表5-4），查出对应的原函数。然而，在电路分析中经常遇到的 $F(s)$ 并非那样简单，不能直接从表中找到。因此，必须研究求逆变换的一般方法。

## 6.3 拉普拉斯逆变换

求复杂拉普拉斯变换式的逆变换通常有两种方法：

- (1) 部分分式展开法
- (2) 留数法

方法一是将复杂变换式分解为许多简单变换式之和，然后分别查表求取原时间信号；

方法二则是直接进行拉氏逆变换积分。

方法一适用于 $F(s)$ 为有理函数的情况；

方法二适用范围较广。

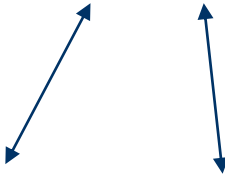
## 6.3.1 部分分式展开法

$$F(s) = \frac{A(s)}{B(s)} = \frac{a_m s^m + a_{m-1} s^{m-1} + \cdots + a_1 s + a_0}{b_n s^n + b_{n-1} s^{n-1} + \cdots + b_1 s + b_0}$$

式中，系数  $a_i$  和  $b_i$  都为实数， $m$  和  $n$  是正整数。

用部分分式展开法求逆变换时，要求  $F(s)$  为有理真分式，即  $m < n$ 。当  $F(s)$  不是真分式时，可以用长除法把  $F(s)$  分解为有理多项式与真分式之和，如

$$F(s) = \frac{3s^3 - 2s^2 - 7s + 1}{s^2 + s - 1} = 3s - 5 + \underbrace{\frac{s - 4}{s^2 + s - 1}}_{\text{真分式}}$$



$3\delta'(t) \quad -5\delta(t) \quad \text{真分式}$

## 6.3.1 部分分式展开法

$$F(s) = \frac{A(s)}{B(s)} = \frac{a_m s^m + a_{m-1} s^{m-1} + \cdots + a_1 s + a_0}{b_n s^n + b_{n-1} s^{n-1} + \cdots + b_1 s + b_0}$$

为方便, 记

$$B(s) = b_n (s - p_1)(s - p_2) \cdots (s - p_n)$$

$$A(s) = a_m (s - z_1)(s - z_2) \cdots (s - z_m)$$

从而, 当  $s = p_1, p_2, \dots, p_n$  时,  $B(s) = 0$ ,  $F(s) = \infty$

所以,  $s = p_1, p_2, \dots, p_n$  称为  $F(s)$  的“极点”。

而当  $s = z_1, z_2, \dots, z_m$  时,  $A(s) = 0$   $F(s) = 0$

所以,  $s = z_1, z_2, \dots, z_m$  称为  $F(s)$  的“零点”。

## 1. 极点为实数，无重根

假定  $F(s)$  的极点  $p_1, p_2, \dots, p_n$  均为实数，且无重根，则  $F(s)$  可展开为如下的部分分式

$$\begin{aligned} F(s) &= \frac{A(s)}{B(s)} = \frac{A(s)}{b_n(s-p_1)(s-p_2)\cdots(s-p_n)} \\ &= \frac{K_1}{s-p_1} + \frac{K_2}{s-p_2} + \cdots + \frac{K_i}{s-p_i} + \cdots + \frac{K_n}{s-p_n} \\ &= \sum_{i=1}^n \frac{K_i}{s-p_i} \end{aligned}$$

其中  $K_i = (s-p_i)F(s)\big|_{s=p_i}$

从而  $f(t) = \sum_{i=1}^n K_i e^{p_i t} u(t)$



## 1. 极点为实数，无重根

**例6.3-1** 求  $F(s) = \frac{10(s+2)(s+5)}{s(s+1)(s+3)}$  的拉氏逆变换。

**解：** 将  $F(s)$  展开成部分分式形式

$$F(s) = \frac{K_1}{s} + \frac{K_2}{s+1} + \frac{K_3}{s+3}$$

其中  $K_1 = sF(s)\big|_{s=0} = \frac{10 \times 2 \times 5}{1 \times 3} = \frac{100}{3}$

$$K_2 = (s+1)F(s)\big|_{s=-1} = \frac{10 \times (-1+2) \times (-1+5)}{(-1) \times (-1+3)} = -20$$

$$K_3 = (s+3)F(s)\big|_{s=-3} = \frac{10 \times (-3+2) \times (-3+5)}{(-3) \times (-3+1)} = -\frac{10}{3}$$

$$F(s) = \frac{100}{3s} - \frac{20}{s+1} - \frac{10}{3(s+3)} \rightarrow f(t) = \frac{100}{3} - 20e^{-t} - \frac{10}{3}e^{-3t} \quad t \geq 0$$

## 2.包含共轭复数极点

若  $B(s) = B_1(s)(s^2 + bs + c)$

其中  $B_1(s) = b_n(s - p_1)(s - p_2) \cdots (s - p_{n-2})$

$p_1, p_2, \dots, p_{n-2}$  是  $B(s)$  的不相等的实根。

$b^2 - 4c < 0$  则  $F(s)$  可写为

$$F(s) = \frac{A(s)}{B(s)} = \frac{As + B}{s^2 + bs + c} + \frac{A_1(s)}{B_1(s)} = \frac{As + B}{s^2 + bs + c} + \sum_{i=1}^{n-2} \frac{A_i}{s - p_i}$$

而  $\frac{As + B}{s^2 + bs + c}$  的逆变换则可用配方法来求。

## 2. 包含共轭复数极点

**例6.3-2** 求  $F(s) = \frac{s+3}{(s+1)(s^2+2s+4)}$  的拉氏逆变换。

**解:** 
$$F(s) = \frac{s+3}{(s+1)(s^2+2s+4)} = \frac{A}{s+1} + \frac{Bs+C}{s^2+2s+4}$$

其中 
$$A = (s+1)F(s)\Big|_{s=-1} = \frac{s+3}{s^2+2s+4}\Big|_{s=-1} = \frac{2}{3}$$

于是 
$$F(s) = \frac{2/3}{s+1} + \frac{Bs+C}{s^2+2s+4} = \frac{\frac{2}{3}(s^2+2s+4) + (Bs+C)(s+1)}{(s+1)(s^2+2s+4)}$$

从而 
$$\frac{2}{3}(s^2+2s+4) + (Bs+C)(s+1) = s+3$$

由方程两端分子的对应项相等，求得

## 2. 包含共轭复数极点

$$B = -2/3 \quad C = 1/3$$

$$F(s) = \frac{\frac{2}{3}}{s+1} + \frac{-\frac{2}{3}s + \frac{1}{3}}{s^2 + 2s + 4}$$

因为

$$\frac{-\frac{2}{3}s + \frac{1}{3}}{s^2 + 2s + 4} = -\frac{2}{3} \times \frac{s - 1/2}{(s+1)^2 + 3}$$

所以

$$X(s) = \frac{2}{3} \times \frac{1}{s+1} - \frac{\frac{2}{3}(s+1)}{(s+1)^2 + (\sqrt{3})^2} + \frac{\sqrt{3}}{3} \frac{\sqrt{3}}{(s+1)^2 + (\sqrt{3})^2}$$

因此

$$\mathcal{L}^{-1}[F(s)] = \frac{2}{3}e^{-t} - \frac{2}{3}e^{-t} \cos \sqrt{3}t + \frac{\sqrt{3}}{3}e^{-t} \sin \sqrt{3}t, \quad t \geq 0$$

### 3. 包含多重极点

$$F(s) = \frac{A(s)}{B(s)} = \frac{A(s)}{(s - p_1)^k D(s)} \quad \text{其中, } F(s) \text{ 在 } p_1 \text{ 处有 } k \text{ 阶极点,}$$

则  $F(s)$  写成展开式

$$F(s) = \frac{K_{11}}{(s - p_1)^k} + \frac{K_{12}}{(s - p_1)^{k-1}} + \dots + \frac{K_{1k}}{(s - p_1)} + \frac{E(s)}{D(s)}$$

$E(s)/D(s)$  表示展开式中与极点  $p_1$  无关的其余部分。

为了方便求出各待定系数, 设

$$F_1(s) = (s - p_1)^k F(s)$$

则 
$$K_{11} = F_1(s) \Big|_{s=p_1}$$

### 3. 包含多重极点

$$K_{12} = \frac{d}{ds} F_1(s) \Big|_{s=p_1}$$

$$K_{13} = \frac{1}{2} \frac{d^2}{ds^2} F_1(s) \Big|_{s=p_1}$$

⋮

$$K_{1i} = \frac{1}{(i-1)!} \frac{d^{i-1}}{ds^{i-1}} F_1(s) \Big|_{s=p_1} \quad i = 1, 2, \dots, k$$

而

$$\frac{A}{(s-p_1)^k} \leftrightarrow A \frac{t^{k-1}}{(k-1)!} e^{p_1 t} u(t)$$

### 3. 包含多重极点

**例6.3-3** 求  $F(s) = \frac{s-2}{s(s+1)^3}$  的拉氏逆变换。

**解：**  $F(s)$  展开式为  $F(s) = \frac{K_{11}}{(s+1)^3} + \frac{K_{12}}{(s+1)^2} + \frac{K_{13}}{(s+1)} + \frac{K_2}{s}$

$$K_2 = sF(s) \Big|_{s=0} = -2$$

令  $F_1(s) = (s+1)^3 F(s) = \frac{s-2}{s}$

$$K_{11} = F_1(s) \Big|_{s=-1} = 3$$

$$K_{12} = \frac{d}{ds} F_1(s) \Big|_{s=-1} = 2$$

$$K_{13} = \frac{1}{2} \frac{d^2}{ds^2} F_1(s) \Big|_{s=-1} = 2$$

于是有

$$F(s) = \frac{3}{(s+1)^3} + \frac{2}{(s+1)^2} + \frac{2}{(s+1)} - \frac{2}{s}$$

$$f(t) = \frac{3}{2} t^2 e^{-t} + 2t e^{-t} + 2e^{-t} - 2, \quad t \geq 0$$

## 6.3.2 留数法

$$f(t) = \frac{1}{2\pi j} \int_{\sigma-j\infty}^{\sigma+j\infty} F(s)e^{st} ds \quad t \geq 0$$

这是复变函数积分问题.

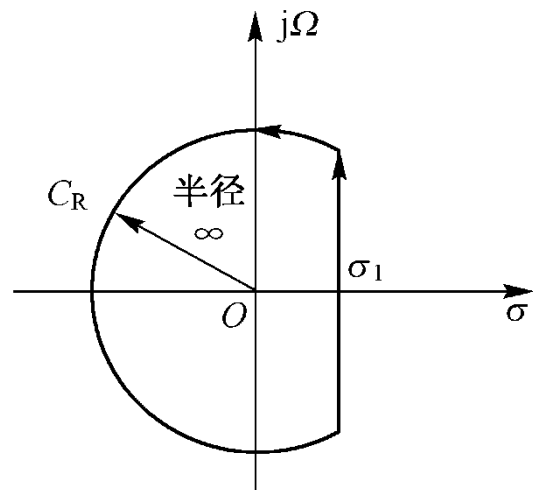
我们可以从 $\sigma - j\infty$ 到  $\sigma + j\infty$

补足一条积分路径, 构成一闭合围线积分,

补足的这条路径 $C_R$ 是半径为 $\infty$ 的圆弧,

沿该圆弧的积分应为零。由留数定理:

$$\mathcal{L}^{-1}[F(s)] = \sum_{\text{极点}} [F(s)e^{st} \text{的留数}]$$





## 6.3.2 留数法

**例6.3-4** 求  $F(s) = \frac{s^3 + 5s^2 + 8s + 5}{(s+3)(s^2 + 2s + 1)}$  的拉氏逆变换。

**解：**  $F(s)$ 不是真分式，首先将其分解为有理多项式与真分式之和。

$$F(s) = \frac{s^3 + 5s^2 + 8s + 5}{(s+3)(s^2 + 2s + 1)} = 1 + \frac{s+2}{(s+3)(s+1)^2}$$

记 
$$F_0(s) = \frac{s+2}{(s+3)(s+1)^2}$$

$F_0(s)$ 有一个单值极点  $p_1 = -3$ ，和一个二阶极点，  $p_2 = -1$

它们的留数分别为

## 6.3.2 留数法

$$\operatorname{Res}[F_0(s)e^{st}] \Big|_{s=p_1} = [(s-p_1)F_0(s)e^{st}] \Big|_{s=p_1} = \frac{(s+2)}{(s+1)^2} e^{st} \Big|_{s=-3} = -\frac{1}{4} e^{-3t}$$

$$\begin{aligned} \operatorname{Res}[F_0(s)e^{st}] \Big|_{s=p_2} &= \frac{1}{(2-1)!} \frac{d}{ds} [(s-p_2)^2 F_0(s)e^{st}] \Big|_{s=p_2} = \frac{d}{ds} \left( \frac{s+2}{s+3} e^{st} \right) \Big|_{s=-1} \\ &= \frac{s+2}{s+3} te^{st} \Big|_{s=-1} + \frac{(s+3)-(s+2)}{(s+3)^2} e^{st} \Big|_{s=-1} = \frac{1}{2} te^{-t} + \frac{1}{4} e^{-t} \end{aligned}$$

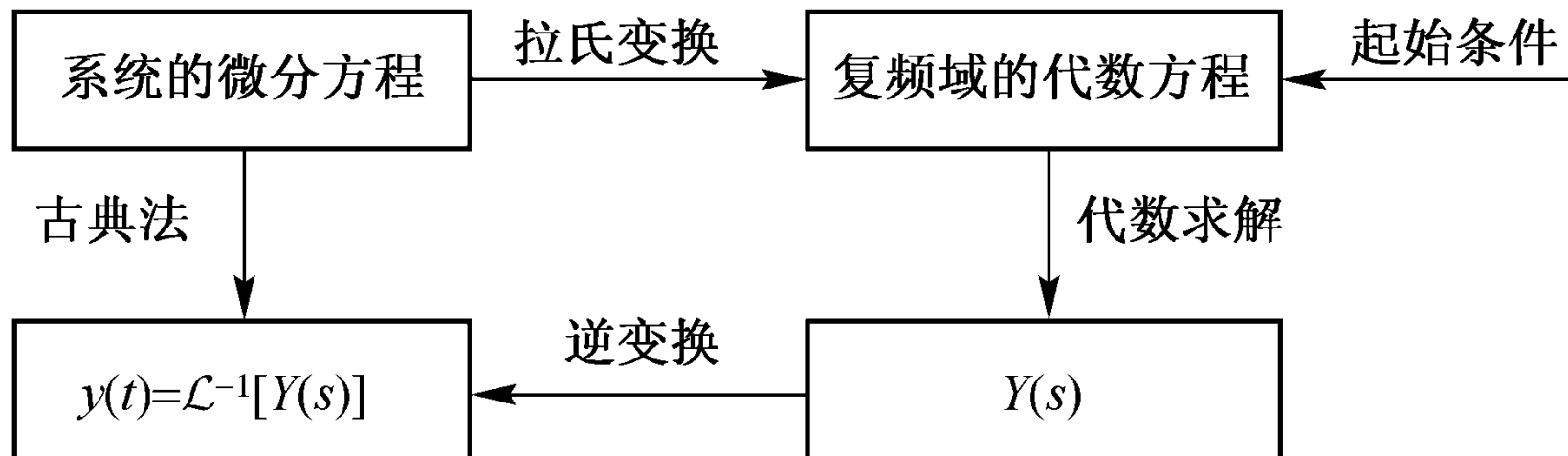
而  $\mathcal{L}^{-1}[1] = \delta(t)$

所以,  $F(s)$  的拉氏逆变换为

$$f(t) = \mathcal{L}^{-1}[F(s)] = \delta(t) + \frac{1}{2} te^{-t} + \frac{1}{4} e^{-t} - \frac{1}{4} e^{-3t}, \quad t \geq 0$$

## 6.4 系统响应的拉氏变换求解

### 6.4.1 微分方程的拉氏变换求解



利用拉氏变换求系统响应，需首先将描述系统输入-输出关系的微分方程进行拉氏变换，得到一个代数方程，求出其解（复频域解）后，经拉氏逆变换即可得到时域解。在求解过程中自动包含了系统起始状态的作用。

## 6.4.1 微分方程的拉氏变换求解

**例6.4-1** 已知系统的微分方程为

$$\frac{d^2 y(t)}{dt^2} + 5 \frac{dy(t)}{dt} + 6y(t) = \frac{d^2 x(t)}{dt^2} + 4 \frac{dx(t)}{dt}$$

$x(t) = (1 + e^{-t})u(t)$ , 起始条件为:  $y(0^-) = 1$ ,  $y'(0^-) = 2$ ,

求  $y(t)$ ,  $y_{zi}(t)$ ,  $y_{zs}(t)$ 。

**解:** 对微分方程两边取拉氏变换:

$$[s^2 Y(s) - sy(0^-) - y'(0^-)] + 5[sY(s) - y(0^-)] + 6Y(s) = (s^2 + 4s)X(s)$$

$$Y(s) = \underbrace{\frac{s^2 + 4s}{s^2 + 5s + 6}}_{Y_{zs}(s)} X(s) + \underbrace{\frac{(s + 5)y(0^-) + y'(0^-)}{s^2 + 5s + 6}}_{Y_{zi}(s)}$$

## 6.4.1 微分方程的拉氏变换求解

$$Y(s) = \frac{s^2 + 4s}{s^2 + 5s + 6} X(s) + \frac{(s + 5)y(0^-) + y'(0^-)}{s^2 + 5s + 6}$$

$$Y_{zs}(s) = \frac{s^2 + 4s}{s^2 + 5s + 6} X(s) = \frac{s^2 + 4s}{s^2 + 5s + 6} \cdot \frac{2s + 1}{s(s + 1)}$$

$$= \frac{(s + 4)(2s + 1)}{(s + 1)(s + 2)(s + 4)} = -\frac{3}{2} \frac{1}{s + 1} + \frac{6}{s + 2} - \frac{5}{2} \frac{1}{s + 3}$$

$$y_{zs}(t) = \left(-\frac{3}{2}e^{-t} + 6e^{-2t} - \frac{5}{2}e^{-3t}\right)u(t)$$

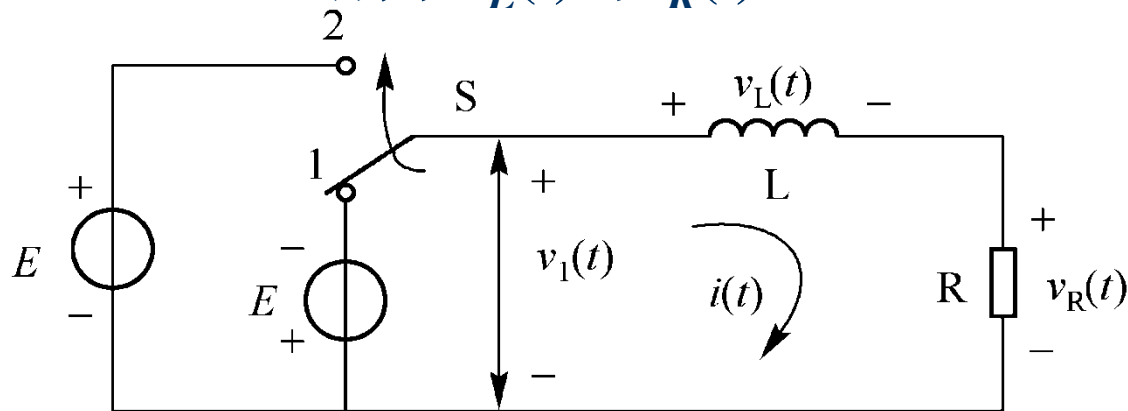
$$Y_{zi}(s) = \frac{(s + 5)y(0^-) + y'(0^-)}{s^2 + 5s + 6} = \frac{s + 7}{s^2 + 5s + 6} = \frac{5}{s + 2} - \frac{4}{s + 3}$$

## 6.4.1 微分方程的拉氏变换求解

$$Y_{zi}(s) = \frac{5}{s+2} - \frac{4}{s+3} \quad y_{zi}(t) = 5e^{-2t} - 4e^{-3t} \quad (t > 0)$$

$$y(t) = y_{zs}(t) + y_{zi}(t) = \left(-\frac{3}{2}e^{-t} + 11e^{-2t} - \frac{13}{2}e^{-3t}\right) \quad (t > 0)$$

**例6.4-2:** 下图所示电路，当 $t < 0$ 时，开关 $S$ 位于“1”端，电路的状态已稳定， $t = 0$ 时 $S$ 从“1”端打到“2”端，分别求 $v_L(t)$ 与 $v_R(t)$ 。



**解:**

$$v_R(0^-) = v_R(0^+) = -E$$

$$v_L(0^-) = 0$$

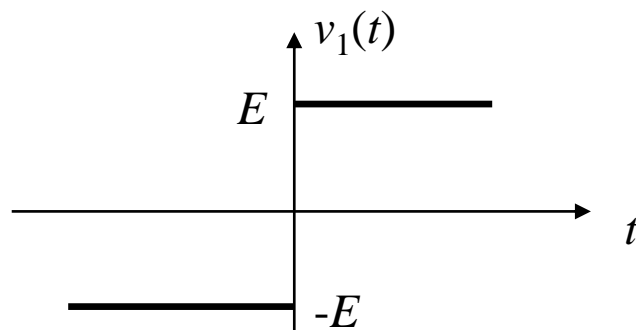
$$v_L(0^+) = 2E$$

## 6.4.1 微分方程的拉氏变换求解

1 求  $v_R(t)$   $v_R(0^-) = v_R(0^+) = -E$

列写微分方程

$$\frac{L}{R} \frac{dv_R(t)}{dt} + v_R(t) = v_1(t)$$



$$v_R(t) = v_h(t) + v_p(t) = Ae^{-\frac{R}{L}t} + E, \quad t > 0$$

$$v_R(0^+) = -E \quad v_R(t) = -2Ee^{-\frac{R}{L}t} + E, \quad t > 0$$

取拉氏变换

$$\frac{L}{R} [sV_R(s) - v_R(0^-)] + V_R(s) = \frac{E}{s}$$

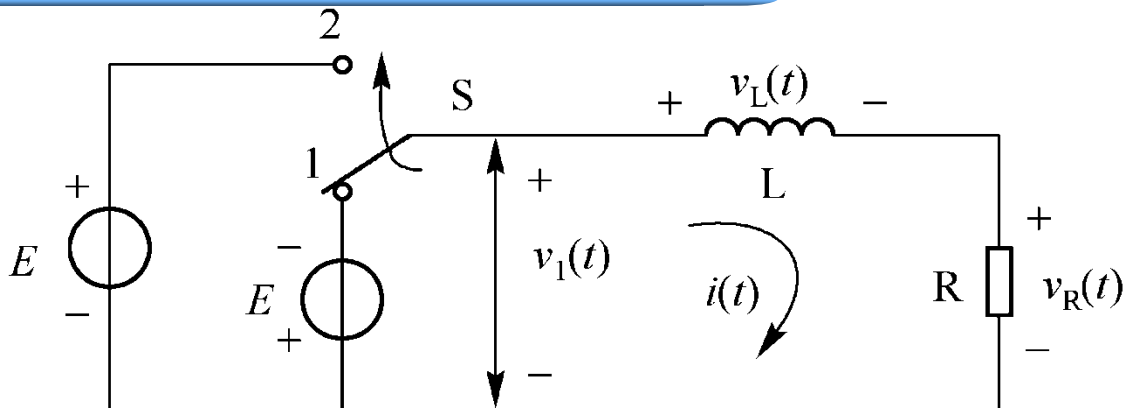
$$V_R(s) = \frac{\frac{E}{s} + \frac{L}{R} v_R(0^-)}{\frac{L}{R}s + 1} = E \frac{\frac{R}{L} - s}{s\left(s + \frac{R}{L}\right)} = E \left( \frac{1}{s} - \frac{2}{s + \frac{R}{L}} \right) \quad v_R(t) = E(1 - 2e^{-\frac{R}{L}t})u(t)$$

## 6.4.1 微分方程的拉氏变换求解

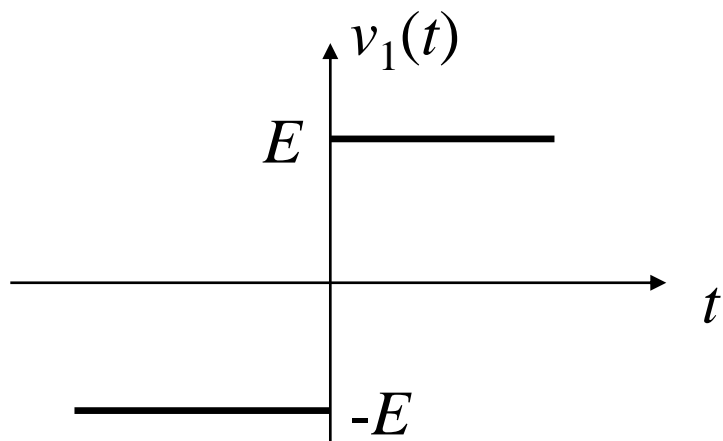
### 2 求 $v_L(t)$

$$v_L(0^-) = 0$$

$$v_L(0^+) = 2E$$



$$(1) \quad \frac{R}{L} \int_{-\infty}^t v_L(\tau) d\tau + v_L(t) = v_1(t)$$



$$\frac{dv_L(t)}{dt} + \frac{R}{L} v_L(t) = \frac{dv_1(t)}{dt}$$

$$\frac{dv_1(t)}{dt} = \begin{cases} 2E\delta(t) & (0^- \text{ 系统}) \\ 0 & (0^+ \text{ 系统}) \end{cases}$$



## 6.4.1 微分方程的拉氏变换求解

$$\frac{dv_L(t)}{dt} + \frac{R}{L}v_L(t) = \frac{dv_1(t)}{dt} \quad \frac{dv_1(t)}{dt} = \begin{cases} 2E\delta(t) & (0^- \text{ 系统}) \\ 0 & (0^+ \text{ 系统}) \end{cases}$$

对于  $0^-$  系统:  $\frac{dv_L(t)}{dt} + \frac{R}{L}v_L(t) = 2E\delta(t)$

$$(2) \quad [sV_L(s) - v_L(0^-)] + \frac{R}{L}V_L(s) = 2E$$

其中:  $v_L(0^-) = 0 \quad \therefore V_L(s) = \frac{2E}{s + \frac{R}{L}}$

$$(3) \quad v_L(t) = 2Ee^{-\frac{R}{L}t} \cdot u(t)$$

## 6.4.1 微分方程的拉氏变换求解

对于  $0^+$  系统: 
$$\frac{dv_L(t)}{dt} + \frac{R}{L}v_L(t) = \frac{dv_1(t)}{dt} = 0$$

$$[sV_L(s) - v_L(0^+)] + \frac{R}{L}V_L(s) = 0$$

其中:  $v_L(0^+) = 2E$

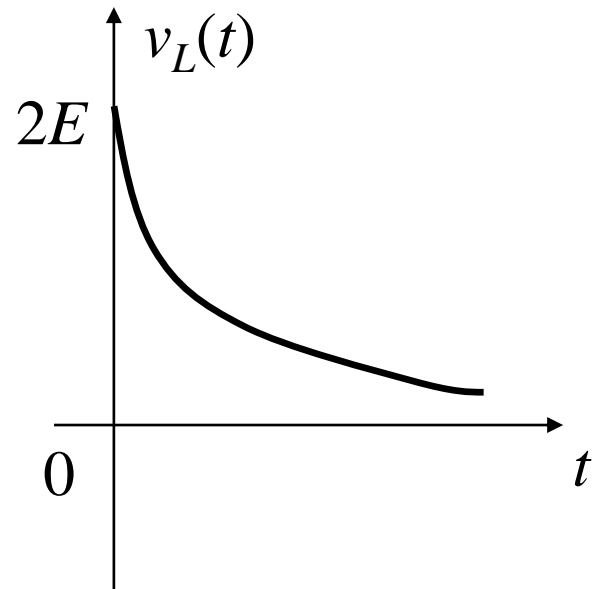
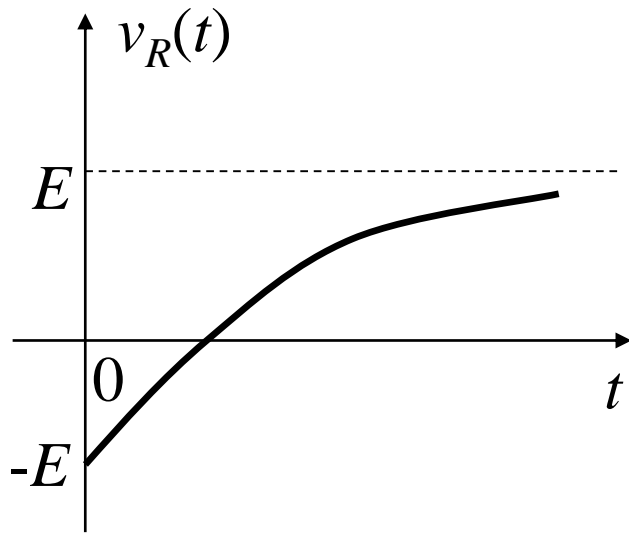
$$\therefore V_L(s) = \frac{2E}{s + \frac{R}{L}}$$

$$v_L(t) = 2Ee^{-\frac{R}{L}t} \cdot u(t)$$

## 6.4.1 微分方程的拉氏变换求解

最后分别画出  $v_R(t)$  和  $v_L(t)$  的波形：

$$v_R(t) = E(1 - 2e^{-\frac{R}{L}t})u(t) \qquad v_L(t) = 2Ee^{-\frac{R}{L}t} \cdot u(t)$$

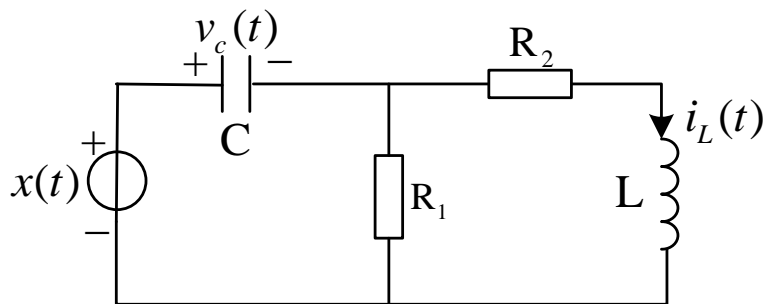


## 6.4.1 微分方程的拉氏变换求解

**例 6.4-4** 已知如图 6.4-5(a)所示电路, 已知  $x(t)=10u(t)$ , 电路参数为,  $L=0.5\text{H}$ ,  $R_1=0.5\Omega$ ,  $R_2=2.5\Omega$ ,  $C=1\text{F}$ , 起始条件  $v_C(0^-)=5\text{V}$ ,  $i_L(0^-)=4\text{A}$ , 求流过电感电流的零输入响应  $i_{zi}(t)$  和零状态响应  $i_{zs}(t)$ , 并画出全响应的波形。

**解:** (1) 设流过电容C的电流为  $i_C(t)$

$$\begin{cases} L \frac{di_L(t)}{dt} + R_2 i_L(t) + \frac{1}{C} \int_{-\infty}^t i_C(\tau) d\tau = x(t) \\ R_1 [i_C(t) - i_L(t)] = L \frac{di_L(t)}{dt} + R_2 i_L(t) \end{cases}$$



**(2) 对微分方程求拉氏变换**

$$\begin{cases} L[sI_L(s) - i_L(0^-)] + R_2 I_L(s) + \frac{1}{s} [\frac{1}{C} I_C(s) + v_C(0^-)] = X(s) \\ R_1 [I_C(s) - I_L(s)] = L[sI_L(s) - i_L(0^-)] + R_2 I_L(s) \end{cases}$$

## 6.4.1 微分方程的拉氏变换求解

### (3) 消去中间变量

$$sLI_L(s) - Li_L(0^-) + R_2I_L(s) + \frac{1}{sC}[I_L(s) + \frac{sL}{R_1}I_L(s) - \frac{L}{R_1}i_L(0^-) + \frac{R_2}{R_1}I_L(s)] + \frac{1}{s}v_C(0^-) = X(s)$$

### (4) 代入元件参数

$$(0.5s + 3.5 + \frac{6}{s})I_L(s) = X(s) + 0.5i_L(0^-) + \frac{1}{s}i_L(0^-) - \frac{1}{s}v_C(0^-)$$

$$(s^2 + 7s + 12)I_L(s) = 2sX(s) + si_L(0^-) + 2i_L(0^-) - 2v_C(0^-)$$

### (5) 求系统响应

$$I_{ziL}(s) = \frac{si_L(0^-) + 2i_L(0^-) - 2v_C(0^-)}{s^2 + 7s + 12} = \frac{4s - 2}{(s + 3)(s + 4)} = \frac{-14}{s + 3} + \frac{18}{s + 4}$$

$$i_{ziL}(t) = (18e^{-4t} - 14e^{-3t})u(t)$$

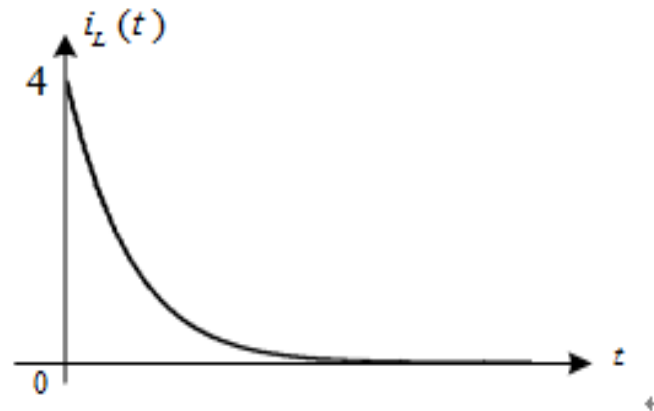
## 6.4.1 微分方程的拉氏变换求解

$$I_{zsL}(s) = \frac{2sX(s)}{s^2 + 7s + 12} = \frac{20}{(s+3)(s+4)} = \frac{20}{s+3} - \frac{20}{s+4}$$

$$i_{zsL}(t) = 20(e^{-3t} - e^{-4t})u(t)$$

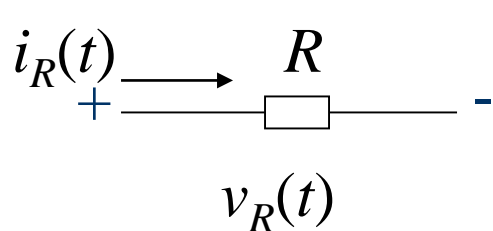
$$i_L(t) = i_{zsL}(t) + i_{zsL}(t) = (6e^{-3t} - 2e^{-4t})u(t)$$

画出  $i_L(t)$  的波形



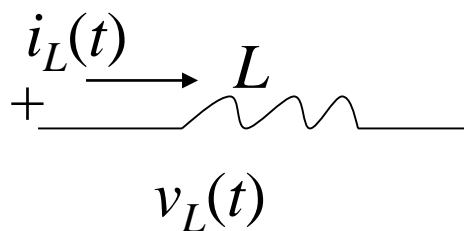
## 6.4.2 s域的元素模型

列写微分方程取拉氏变换的方法分析电路虽然具有许多优点,但是,对于比较复杂的网络,列写微分方程这一步就显得不必要的繁琐了。要得到网络的模型应先从基本元件的模型入手。



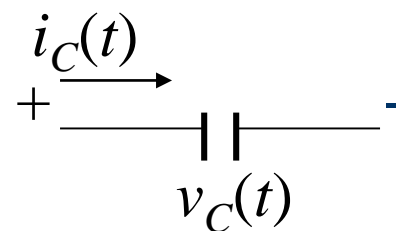
$$v_R(t) = Ri_R(t)$$

$$V_R(s) = RI_R(s)$$



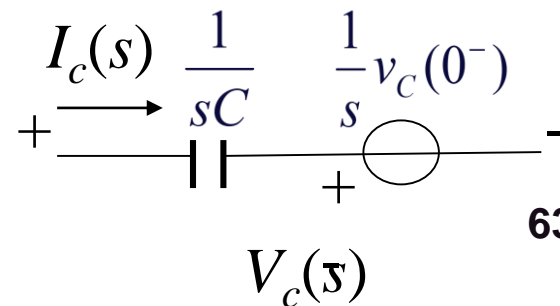
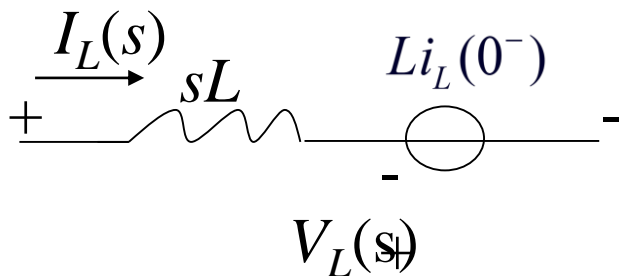
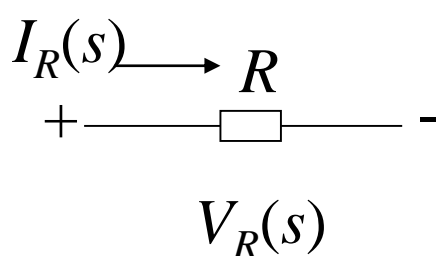
$$v_L(t) = L \frac{di_L(t)}{dt}$$

$$V_L(s) = sLI_L(s) - Li_L(0^-)$$



$$v_C(t) = \frac{1}{C} \int_{-\infty}^t i_C(\tau) d\tau$$

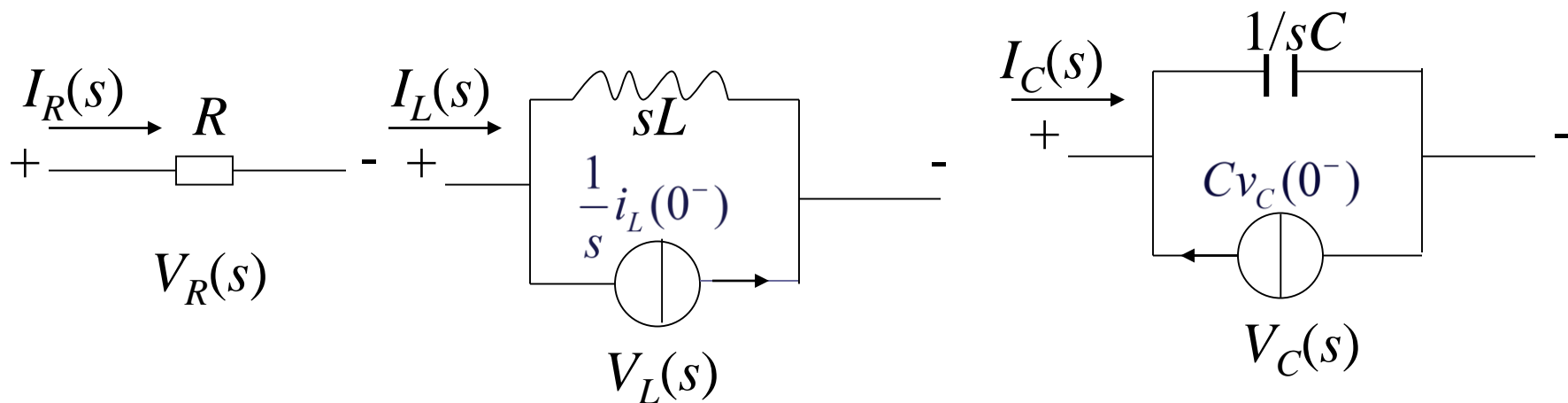
$$V_C(s) = \frac{1}{sC} I_C(s) + \frac{1}{s} v_C(0^-)$$



## 6.4.2 s域的元素模型

$$V_R(s) = RI_R(s) \quad V_L(s) = sLI_L(s) - Li_L(0^-) \quad V_C(s) = \frac{1}{sC}I_C(s) + \frac{1}{s}v_C(0^-)$$

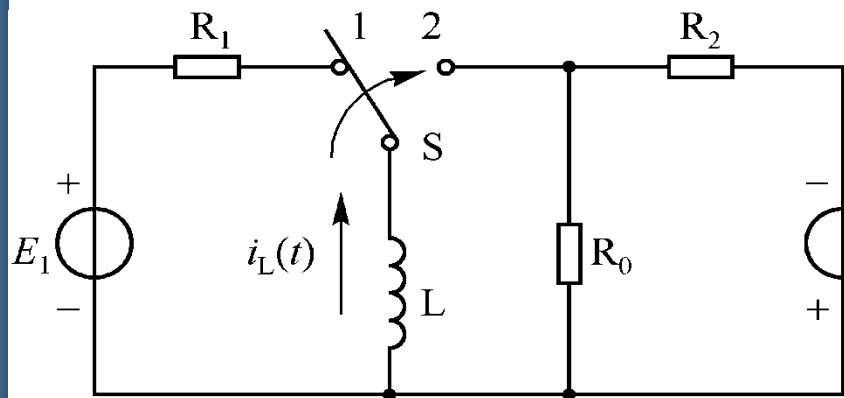
$$I_R(s) = \frac{1}{R}V_R(s) \quad I_L(s) = \frac{1}{sL}V_L(s) + \frac{1}{s}i_L(0^-) \quad I_C(s) = sCV_C(s) - Cv_C(0^-)$$



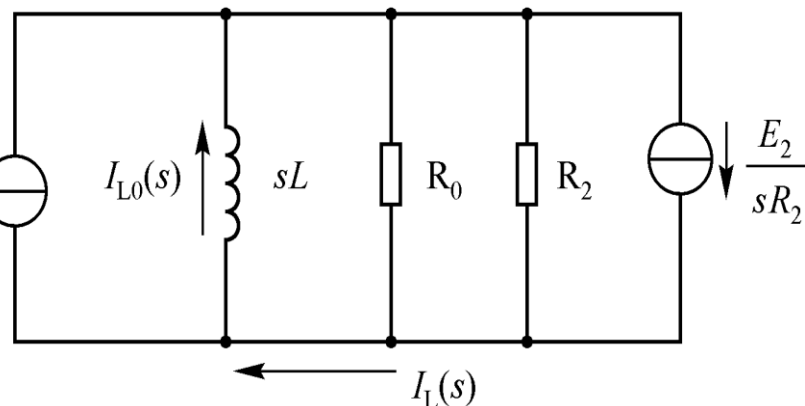


## 6.4.2 s域的元素模型

**例6.4-5** 电路中，当  $t < 0$  时，开关S位于“1”端，电路的状态已经稳定。当  $t = 0$  时开关S从“1”端倒向“2”端，求  $i_L(t)$



(1) 画出s域模型



**解：**  $i_L(0^-) = -E_1 / R_1$

(2) 假定流过  $sL$  的电流为  $I_{L0}(s)$

$$I_{L0}(s) = \frac{\frac{E_1}{sR_1} + \frac{E_2}{sR_2}}{\frac{1}{R_0} + \frac{1}{R_2} + \frac{1}{sL}} \times \frac{1}{sL} = \frac{\frac{1}{s} \left( \frac{E_1}{R_1} + \frac{E_2}{R_2} \right)}{\frac{sL(R_0 + R_2)}{R_0 R_2} + 1}$$

## 6.4.2 s域的元素模型

令

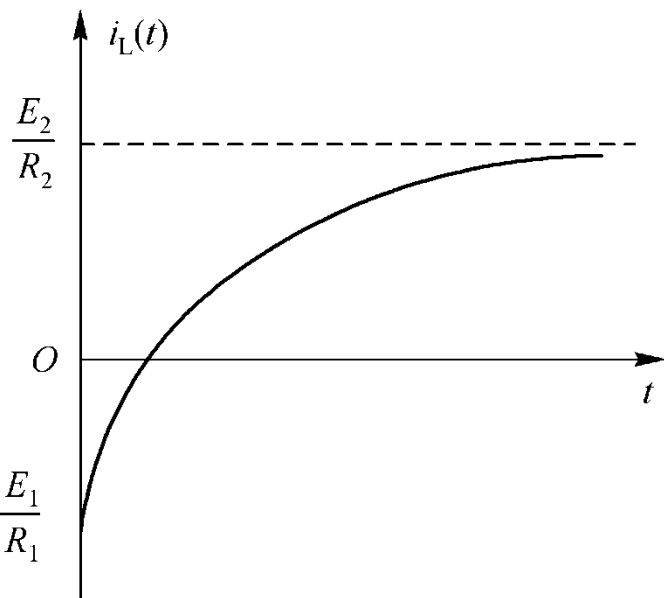
$$\tau = \frac{L(R_0 + R_2)}{R_0 R_2}$$

$$I_{L0}(s) = \frac{\frac{E_1}{R_1} + \frac{E_2}{R_2}}{s(s\tau + 1)} = \left( \frac{E_1}{R_1} + \frac{E_2}{R_2} \right) \left( \frac{1}{s} - \frac{1}{s + \frac{1}{\tau}} \right) - \frac{E_1}{R_1}$$

$$I_L(s) = I_{L0}(s) - \frac{E_1}{sR_1} = \frac{E_2}{sR_2} - \left( \frac{E_1}{R_1} + \frac{E_2}{R_2} \right) \bigg/ \frac{1}{s + \frac{1}{\tau}}$$

(3) 逆变换为

$$i_L(t) = \frac{E_2}{R_2} - \left( \frac{E_1}{R_1} + \frac{E_2}{R_2} \right) e^{-\frac{t}{\tau}} \quad t \geq 0$$

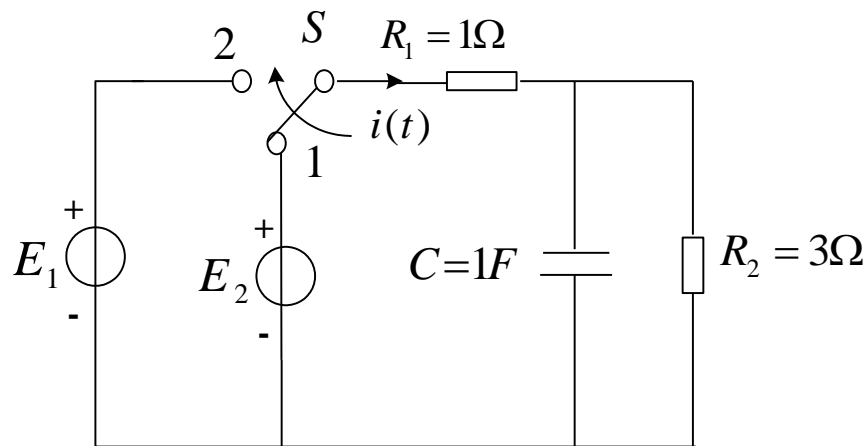


## 6.4.2 s域的元素模型

**例（补）** 如图所示电路，已知： $E_1=2\text{ V}$ ， $E_2=4\text{ V}$ ，当 $t<0$ 时，开关 $S$ 处于1的位置，而且已达到稳定。当 $t=0$ 时，开关 $S$ 由1转向2。求电流 $i(t)$ 的零输入响应与零状态响应。

**解：**(1) 首先求电流 $i(t)$ 的零输入响应 $i_{zi}(t)$

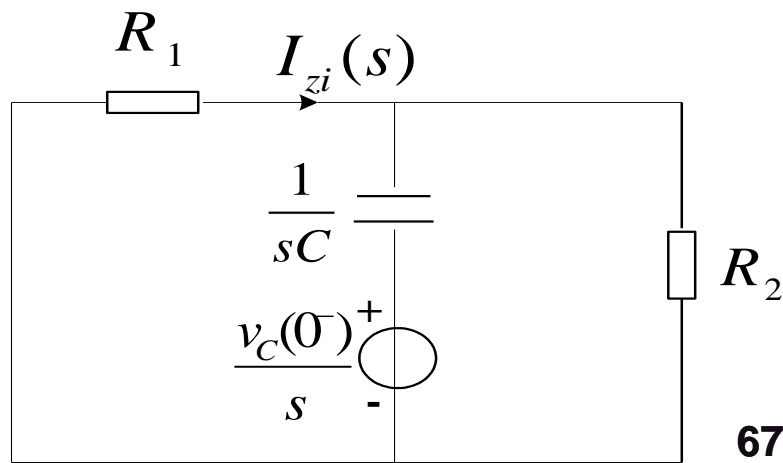
$$v_C(0^-) = \frac{R_2}{R_1 + R_2} \cdot E_2 = \frac{3}{1+3} \cdot 4 = 3\text{V}$$



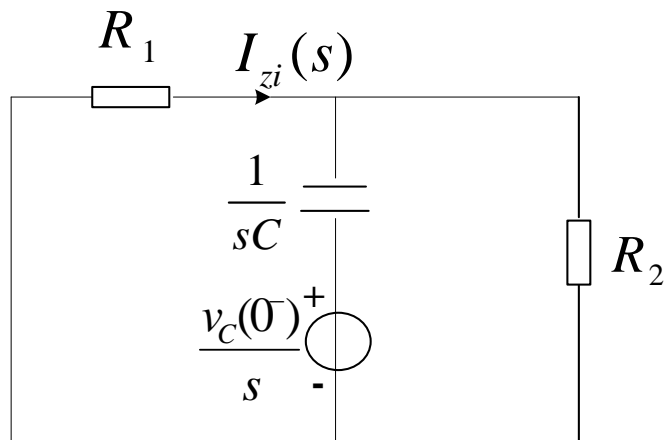
画出电路的零输入响应的s域模型

电阻 $R_1$ 与 $R_2$ 的并联电阻 $R$ 为：

$$R = \frac{R_1 \cdot R_2}{R_1 + R_2} = \frac{1 \times 3}{1+3} = \frac{3}{4} \Omega$$



## 6.4.2 s域的元素模型



电阻 $R$ 与 $1/sC$ 串联，可求出流过电容的电流像函数，再进行分流，即可得

$$I_{zi}(s) = \frac{R_2}{R_1 + R_2} \cdot \frac{-\frac{1}{s} v_C(0^-)}{\frac{1}{sC} + R} = \frac{-3 \cdot \frac{1}{s} \cdot 3}{(1+3) \cdot (\frac{1}{s} + \frac{3}{4})} = \frac{-9}{3s+4} = \frac{-3}{s + \frac{4}{3}}$$

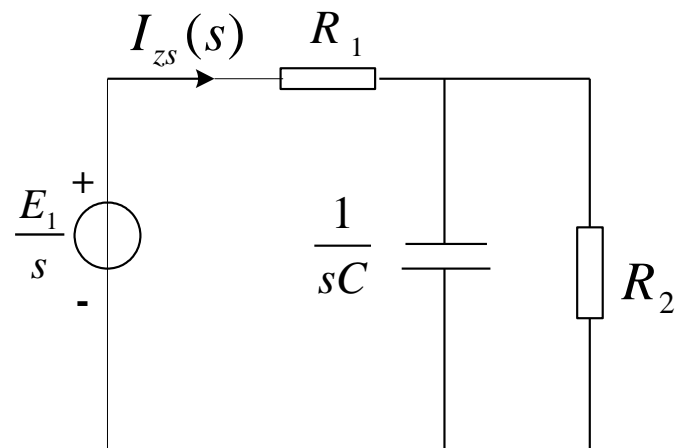
取拉氏逆变换，得到电流的零输入响应。

$$i_{zi}(t) = -3e^{-\frac{4}{3}t} u(t)$$

## 6.4.2 s域的元素模型

(2)求电流 $i(t)$ 的零状态响应 $i_{zs}(t)$ ,画出零状态响应的s域模型

$$\begin{aligned} I_{zs}(s) &= \frac{\frac{E_1}{s}}{R_1 + \frac{R_2 \cdot \frac{1}{sC}}{R_2 + \frac{1}{sC}}} = \frac{\frac{2}{s}}{1 + \frac{3 \cdot \frac{1}{s}}{3 + \frac{1}{s}}} \\ &= \frac{2(1+3s)}{s(3s+4)} = \frac{1}{2} \cdot \frac{1}{s} + \frac{3}{2} \cdot \frac{1}{s + \frac{4}{3}} \end{aligned}$$



取拉氏逆变换，得到电流的零状态响应。

$$i_{zs}(t) = \left( \frac{1}{2} + \frac{3}{2} e^{-\frac{4}{3}t} \right) u(t)$$

## 6.4.2 s域的元件模型

**例 6.4-6** 图 6.4-11 所示电路中, 已知  $E = 28\text{V}$ ,  $L = 4\text{H}$ ,  $C = 1/4\text{F}$ ,  $R_1 = 12\ \Omega$ ,  $R_2 = R_3 = 2\ \Omega$ 。当  $t = 0$  时, 将开关 S 断开, 设开关断开前电路已稳定, 求开关断开后其两端电压  $y(t)$  的零输入响应和零状态响应。

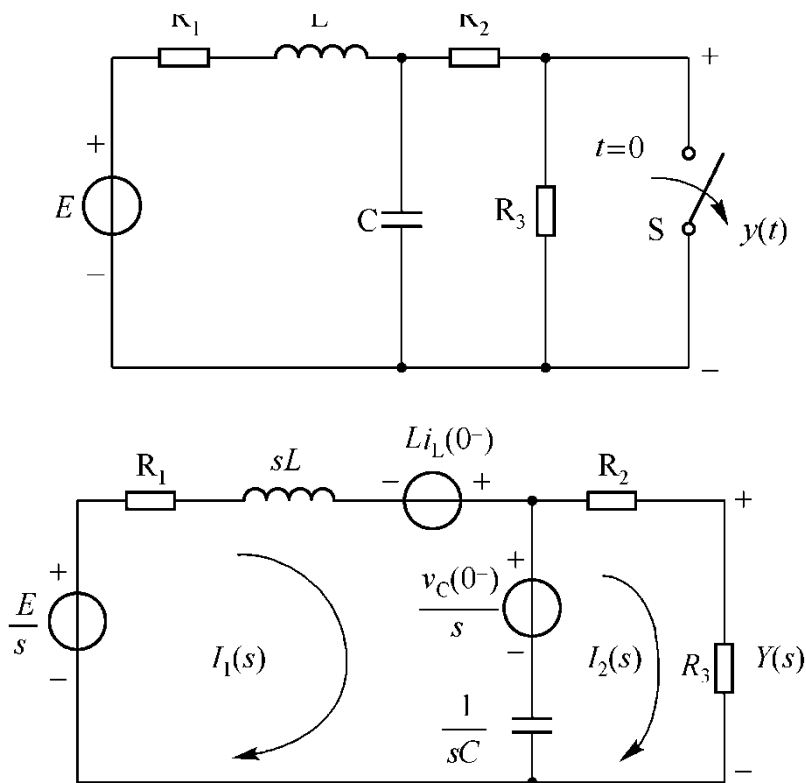
**解 (1) 求出电容电压和电感电流的起始值**

$$v_C(0^-) = \frac{R_2}{R_1 + R_2} E = 4\text{ V}$$

$$i_L(0^-) = \frac{E}{R_1 + R_2} = 2\text{ A}$$

**(2) 画出电路的s域模型**

**(3) 求零状态响应**



## 6.4.2 s域的元素模型

可以列出回路方程

$$\begin{cases} \left( R_1 + sL + \frac{1}{sC} \right) I_1(s) - \frac{1}{sC} I_2(s) = \frac{E}{s} \\ -\frac{1}{sC} I_1(s) + \left( R_2 + R_3 + \frac{1}{sC} \right) I_2(s) = 0 \end{cases}$$

代入参数

$$\begin{cases} \left( 12 + 4s + \frac{4}{s} \right) I_1(s) - \frac{4}{s} I_2(s) = \frac{28}{s} \\ -\frac{4}{s} I_1(s) + \left( 4 + \frac{4}{s} \right) I_2(s) = 0 \end{cases}$$

消去中间变量

$$I_2(s) = \frac{7}{s(s^2 + 4s + 4)}$$

$$Y_{zs}(s) = R_3 I_2(s) = \frac{14}{s(s^2 + 4s + 4)} = \frac{7}{2s} - \frac{7}{2(s+2)} - \frac{7}{(s+2)^2}$$

$$y_{zs}(t) = 3.5 - (3.5 + 7t)e^{-2t} \quad t \geq 0$$

## 6.4.2 s域的元素模型

### (4)求零输入响应

可以列出回路方程

$$\begin{cases} \left( R_1 + sL + \frac{1}{sC} \right) I_1(s) - \frac{1}{sC} I_2(s) = Li_L(0^-) - \frac{v_C(0^-)}{s} \\ -\frac{1}{sC} I_1(s) + \left( R_2 + R_3 + \frac{1}{sC} \right) I_2(s) = \frac{v_C(0^-)}{s} \end{cases}$$

代入参数

$$Y_{zi}(s) = \frac{2s+10}{(s+2)^2} = \frac{2}{s+2} + \frac{6}{(s+2)^2}$$

$$y_{zi}(t) = (2 + 6t)e^{-2t} \quad t \geq 0$$



## 6.5 系统函数与冲激响应

### 1. 系统函数的定义

设系统的  $n$  阶微分方程为：

$$\begin{aligned} a_n y^{(n)}(t) + a_{n-1} y^{(n-1)}(t) + \cdots + a_1 y^{(1)}(t) + a_0 y(t) \\ = b_m x^{(m)}(t) + b_{m-1} x^{(m-1)}(t) + \cdots + b_1 x^{(1)}(t) + b_0 x(t) \end{aligned} \quad (6.5-1)$$

若  $y^{(k)}(0^-) = 0, \quad x^{(k)}(0^-) = 0$

对式（6.5-1）两边取拉氏变换得：

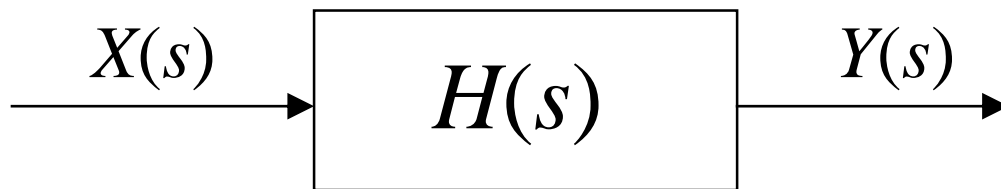
$$Y_{zs}(s) = \frac{b_m s^m + b_{m-1} s^{m-1} + \cdots + b_1 s + b_0}{a_n s^n + a_{n-1} s^{n-1} + \cdots + a_1 s + a_0} X(s)$$

## 6.5 系统函数与冲激响应

$$H(s) = \frac{Y_z(s)}{X(s)} = \frac{b_m s^m + b_{m-1} s^{m-1} + \cdots b_1 s + b_0}{a_n s^n + a_{n-1} s^{n-1} + \cdots a_1 s + a_0} \quad (6.5-3)$$

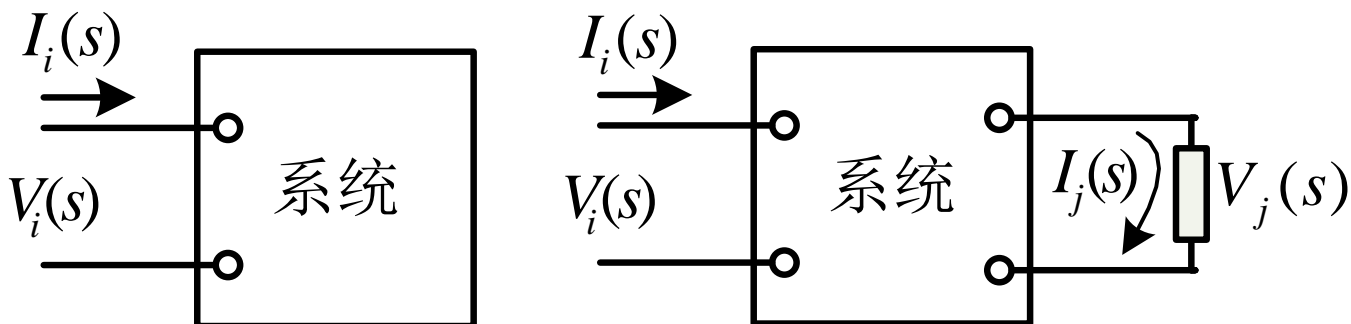
----- “系统函数” 或 “网络函数”

简写为:  $H(s) = \frac{Y(s)}{X(s)}$       或:  $Y(s) = H(s) X(s)$



- 注意:
- 1、 $H(s)$ 独立于输入，仅由系统特性决定；
  - 2、系统函数是在零状态条件下得到的；
  - 3、线性时不变系统的 $H(s)$ 是 $s$ 的有理函数。

## 6.5 系统函数与冲激响应



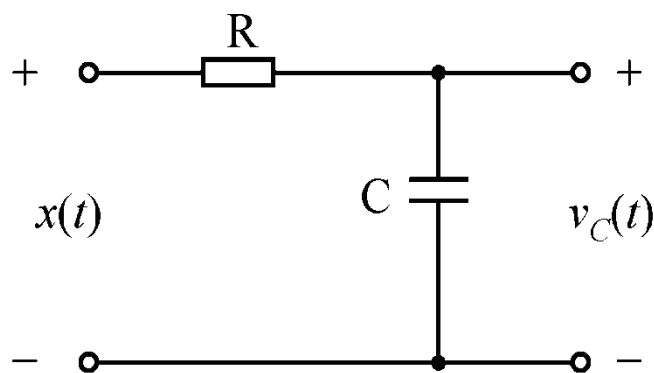
网络函数的名称

| 激励与响应的位置       | 激 励 | 响 应 | 系统函数名称        |
|----------------|-----|-----|---------------|
| 在同一端口(策动点函数)   | 电流  | 电压  | 策动点阻抗         |
|                | 电压  | 电流  | 策动点导纳         |
| 分别在各自的端口(转移函数) | 电流  | 电压  | 转移阻抗          |
|                | 电压  | 电流  | 转移导纳          |
|                | 电压  | 电压  | 转移电压比(电压传输函数) |
|                | 电流  | 电流  | 转移电流比(电流传输函数) |

## 6.5 系统函数与冲激响应

例如右图中的RC电路，其系统函数为

$$H(s) = \frac{V_C(s)}{X(s)} = \frac{\frac{1}{sC}}{R + \frac{1}{sC}} = \frac{1}{RC} \cdot \frac{1}{s + \frac{1}{RC}}$$



### 2. 系统函数 $H(s)$ 与冲激响应 $h(t)$ 的关系

$$Y_{zs}(s) = H(s) X(s)$$

$$\text{当 } x(t) = \delta(t) \text{ 时, } y_{zs}(t) = h(t)$$

$$\text{而 } X(s) = \mathcal{L}[\delta(t)] = 1$$

$$Y_{zs}(s) = H(s)$$

## 6.5 系统函数与冲激响应

所以 
$$h(t) = \mathcal{L}^{-1}[H(s)]$$

或 
$$H(s) = \mathcal{L}[h(t)]$$

简记为: 
$$h(t) \xleftrightarrow{\mathcal{L}} H(s)$$

$$Y_{zs}(s) = H(s) X(s)$$

$$y_{zs}(t) = h(t) * x(t)$$

$h(t)$ 和  $H(s)$ 分别从时域和复频域两个方面表征了同一系统的特性。

## 6.5 系统函数与冲激响应

### 3. 系统函数 $H(s)$ 的求法

(1) 由零状态下系统的微分方程经拉氏变换求得

(2) 由冲激响应的拉氏变换求得

(3) 用零状态下的 $s$ 域模型、应用电路分析方法求得

**例6.5-1:** 已知  $2 \frac{d^2 y(t)}{dt^2} + 5 \frac{dy(t)}{dt} + 2 y(t) = \frac{dx(t)}{dt} + 5 x(t)$   
求 $H(s)$ 。

**解法一:** 对微分方程两边取拉氏变换得:

$$(2s^2 + 5s + 2)Y(s) = (s + 5)X(s)$$

## 6.5 系统函数与冲激响应

$$\therefore H(s) = \frac{Y(s)}{X(s)} = \frac{s+5}{2s^2+5s+2}$$

**解法二：** 先求系统的冲激响应（应用2.5节的方法）

$$h(t) = (1.5e^{-0.5t} - e^{-2t})u(t)$$

则 
$$H(s) = \frac{1.5}{s+0.5} - \frac{1}{s+2} = \frac{s+5}{2s^2+5s+2}$$

## 6.5 系统函数与冲激响应

**例6.5-3:** 图6.2-2(a)是常用的分压电路,若以电容 $C_2$ 上的电压为输出, 试求其冲激响应。

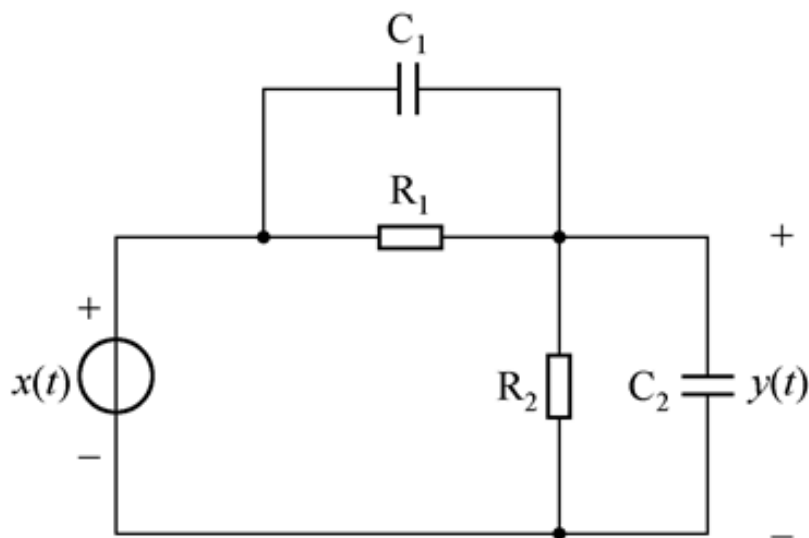
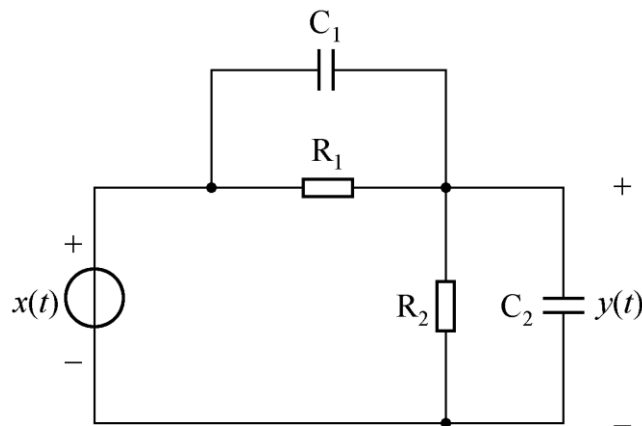


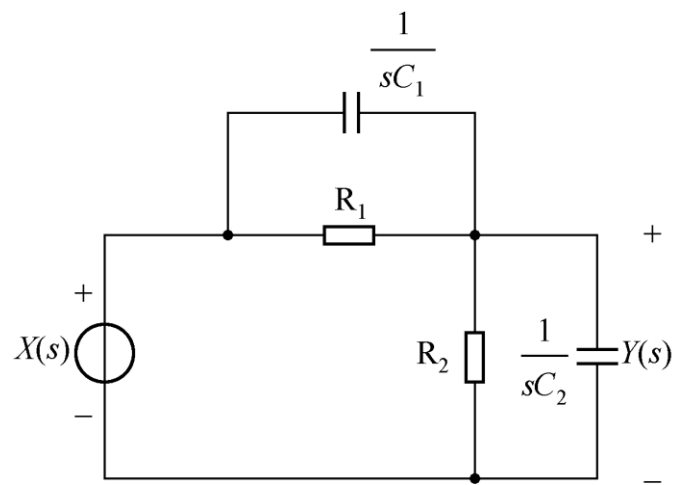
图6.5-2



## 6.5 系统函数与冲激响应



(a)



(b)

**解：**画出图 (a) 的零状态  $s$  域模型，如图 (b) 所示。

令：

$$Z_1(s) = \frac{R_1 \frac{1}{sC_1}}{R_1 + \frac{1}{sC_1}} = \frac{1}{C_1 \left( s + \frac{1}{R_1 C_1} \right)}$$

$$Z_2(s) = \frac{R_2 \frac{1}{sC_2}}{R_2 + \frac{1}{sC_2}} = \frac{1}{C_2 \left( s + \frac{1}{R_2 C_2} \right)}$$

## 6.5 系统函数与冲激响应

其系统函数

$$H(s) = \frac{Y(s)}{X(s)} = \frac{Z_2(s)}{Z_1(s) + Z_2(s)} = \frac{C_1 \left( s + \frac{1}{R_1 C_1} \right)}{(C_1 + C_2)s + \frac{1}{R_1} + \frac{1}{R_2}} = \frac{C_1}{C_1 + C_2} + \frac{R_2 C_2 - R_1 C_1}{R_1 R_2 (C_1 + C_2)^2} \cdot \frac{1}{s + \alpha}$$

式中,  $\alpha = \frac{R_1 + R_2}{R_1 R_2 (C_1 + C_2)}$ , 则冲激响应为:

$$h(t) = \frac{C_1}{C_1 + C_2} \delta(t) + \frac{R_2 C_2 - R_1 C_1}{R_1 R_2 (C_1 + C_2)^2} e^{-\alpha t} u(t)$$

若适当选择元件值, 使  $R_1 C_1 = R_2 C_2$ , 则

$$H(s) = \frac{C_1}{C_1 + C_2} = \frac{R_2}{R_1 + R_2} \quad h(t) = \frac{C_1}{C_1 + C_2} \delta(t) = \frac{R_2}{R_1 + R_2} \delta(t)$$